

# 第一章 MOS器件基础

刘鸣

liuming@semi.ac.cn

中国科学院半导体研究所

# 目录

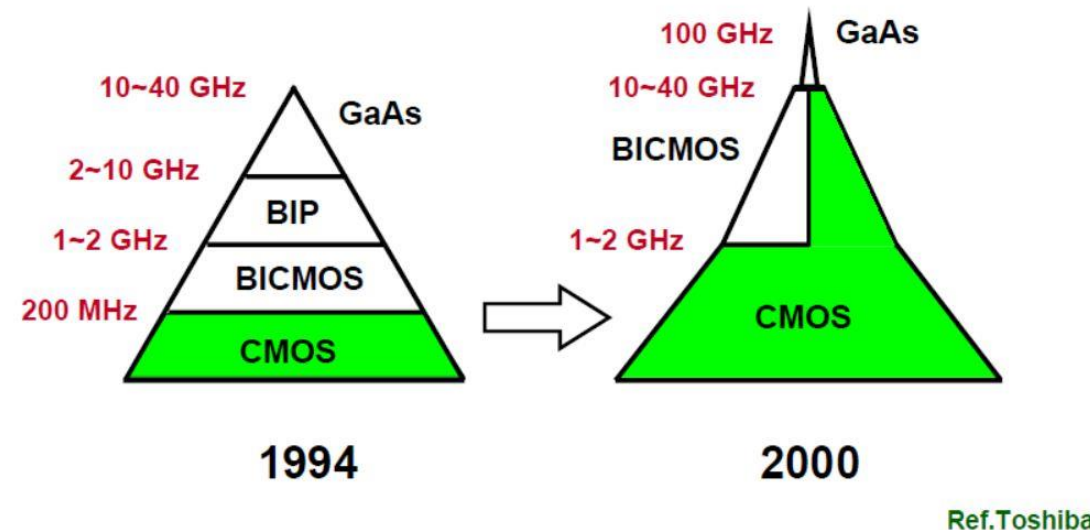
- 前言
- MOS管原理
- MOS管I-V特性
- 2阶效应
- MOS管模型
- 短沟道效应
- 仿真模型
- 工艺角

# 前言

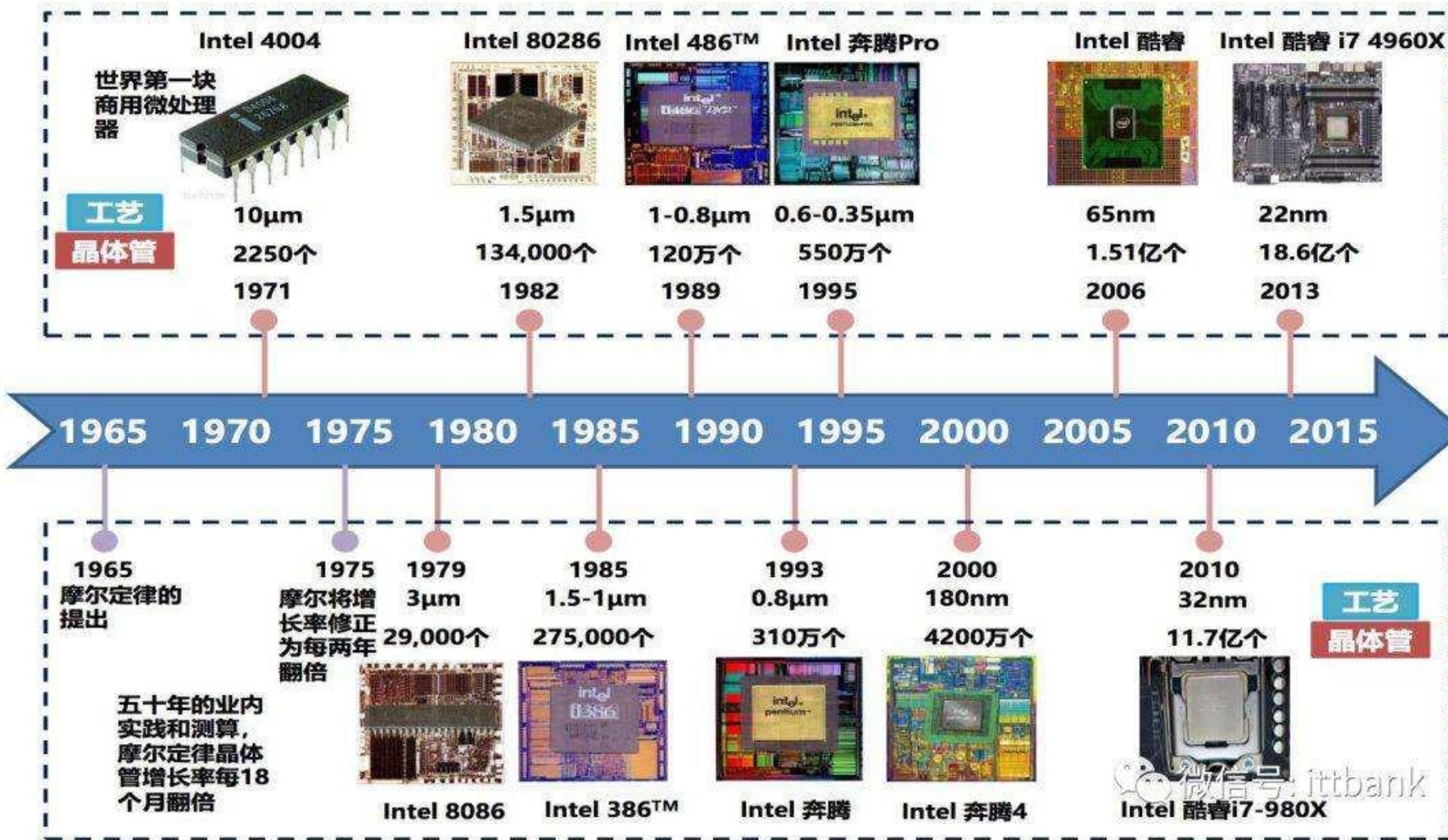
- MOS管的优势和缺点
- 摩尔定律
- 模拟电路学习的知识体系

# MOS管优势和缺点

- 数字电路
  - 等比例缩小，速度显著提高，成本降低
  - 功耗低
  - 电路结构简单
- 模拟电路
  - 制造成本低
  - 数模混合
- 与Bipolar比较
  - 速度慢，噪声大
  - 尺寸小，低电压



# 摩尔定律

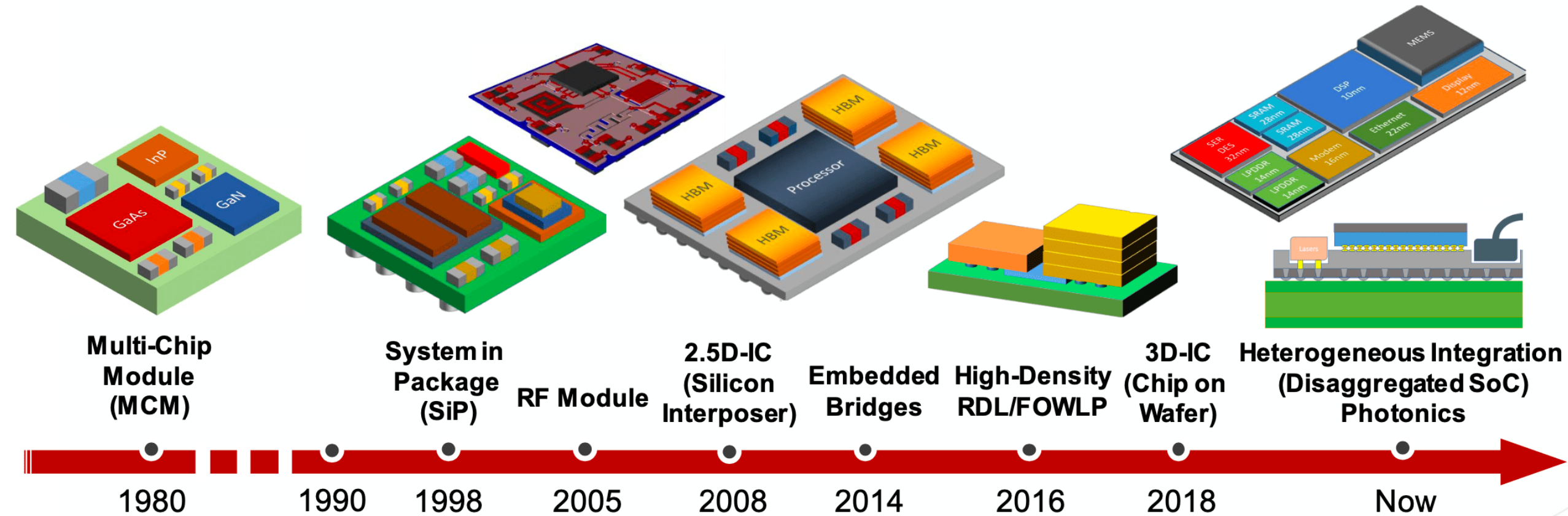


## ● 苹果A17的基本信息

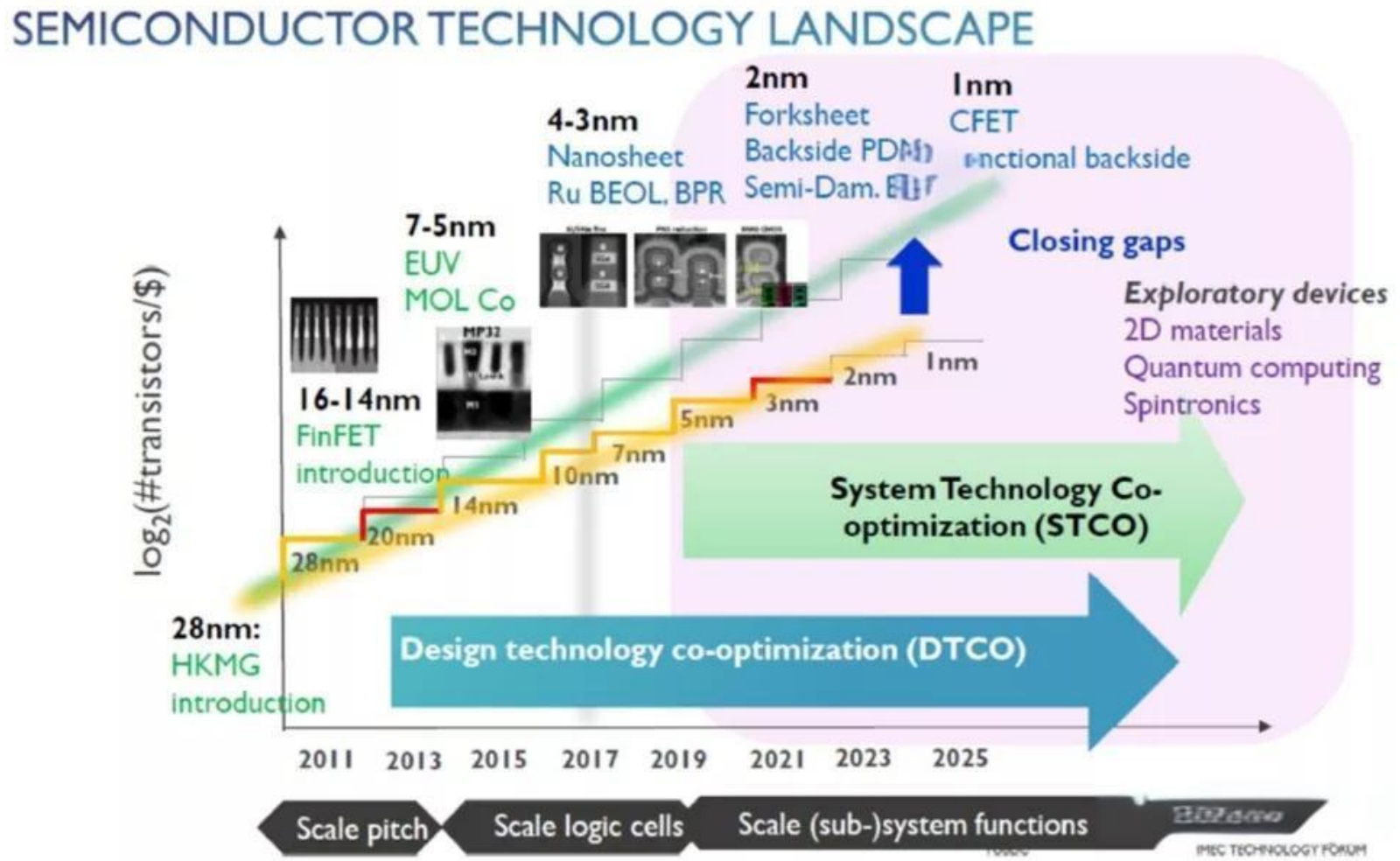
- 2023年
- 6核CPU和6核GPU
- 主频3.7GHz
- 3nm工艺
- 人工智能加速

A16: 160亿个晶体管

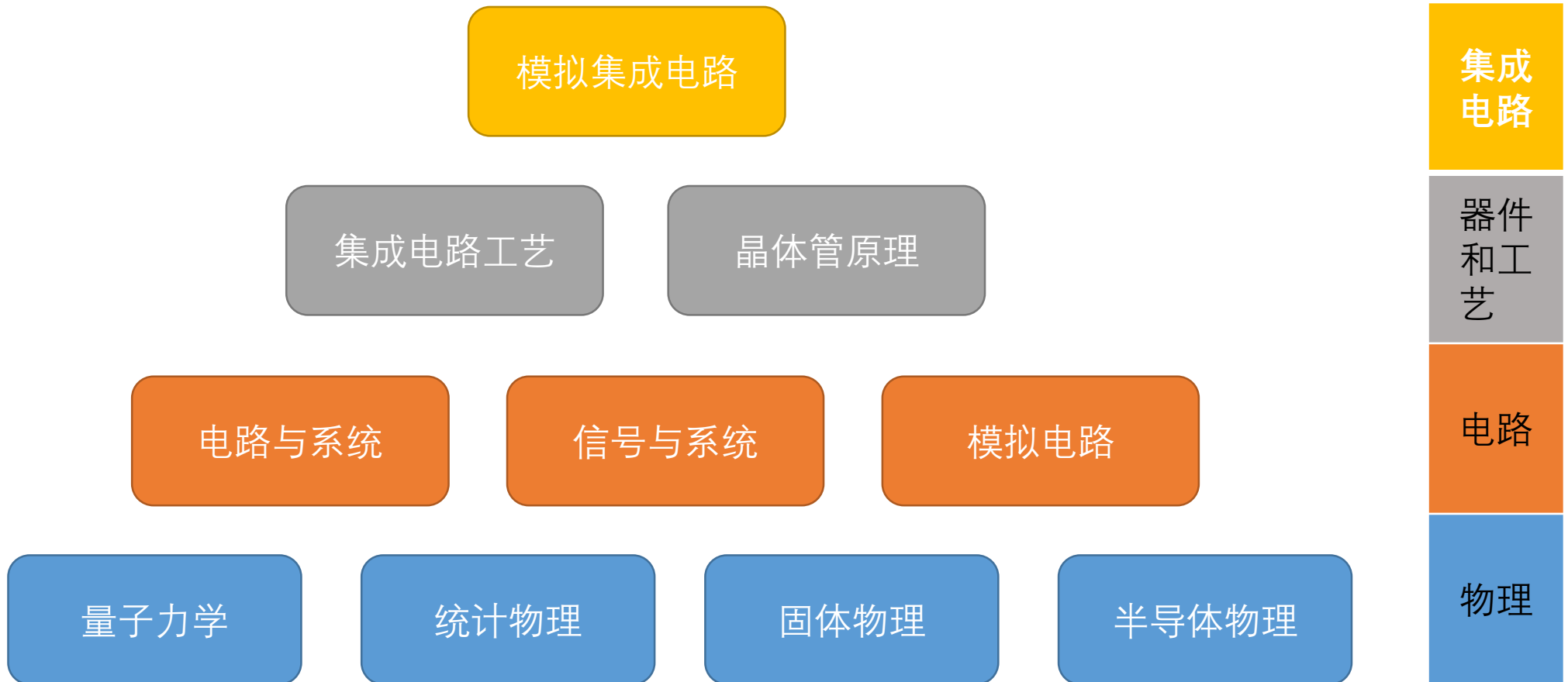
# 超摩尔定律



# 工艺节点和MOS晶体管结构



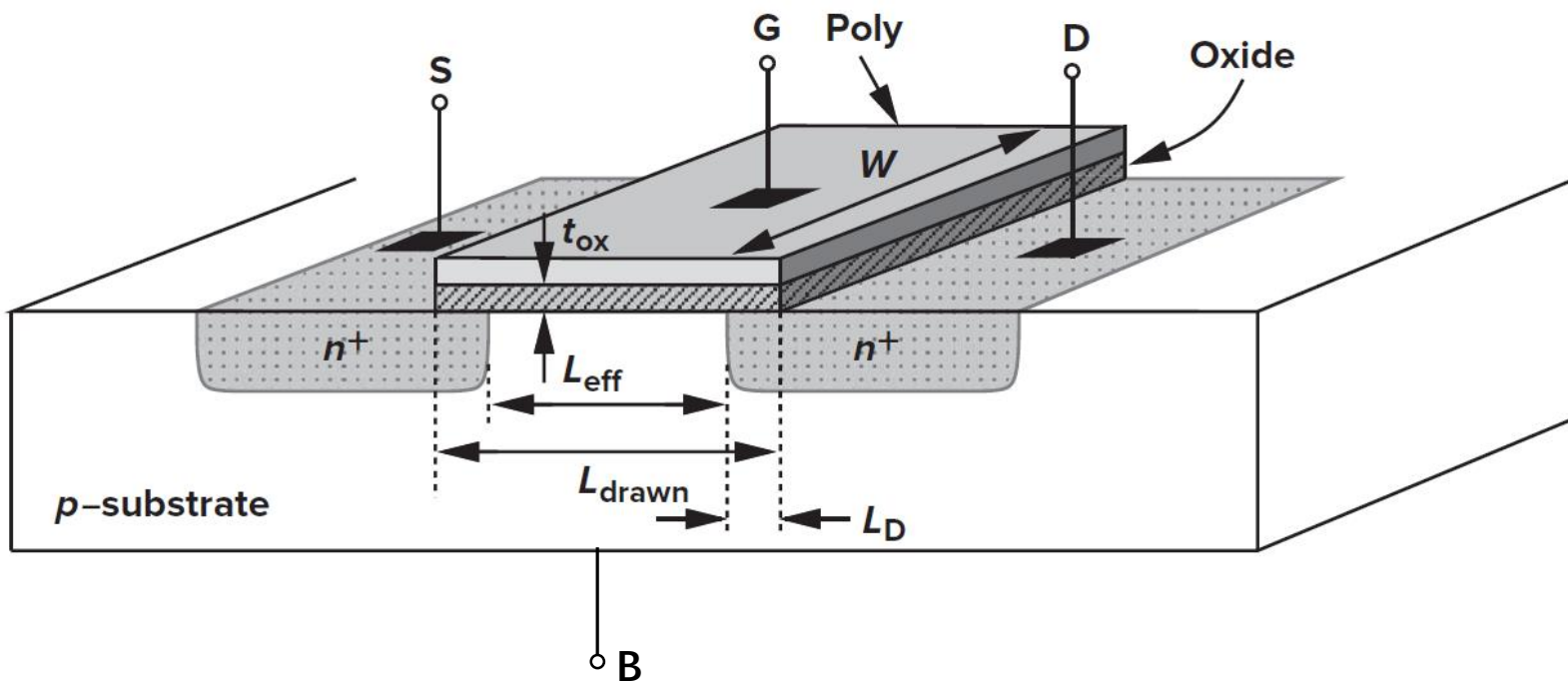
# 模拟电路设计的知识体系



# MOS管原理

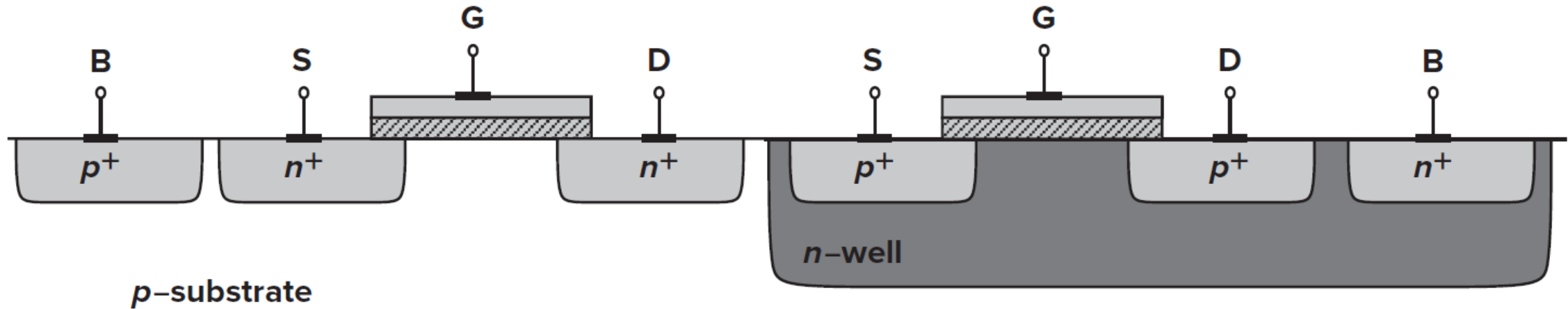
- MOS管结构
- 工作原理
- MOS管符号

# MOS管结构-三维立体图

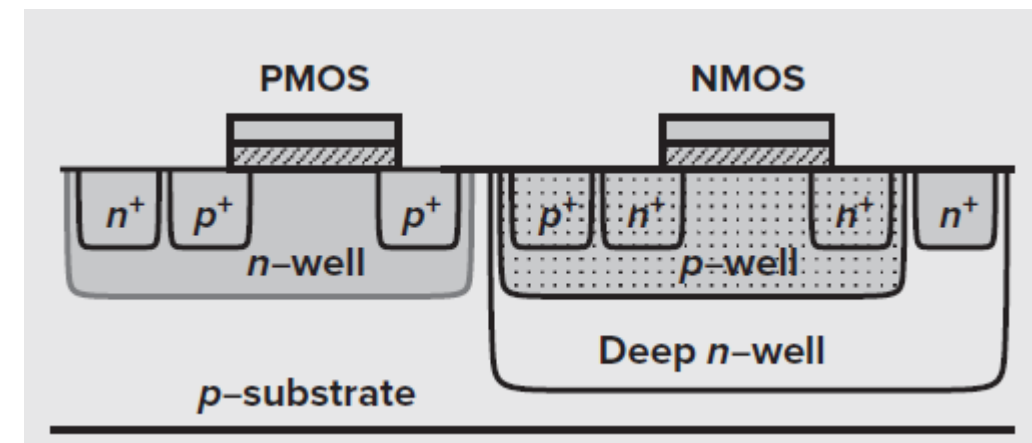


- 结构特点
  - 平面工艺
  - 四端器件
  - 对称结构
  - 衬底（阱）共享

# MOS管结构-剖面图

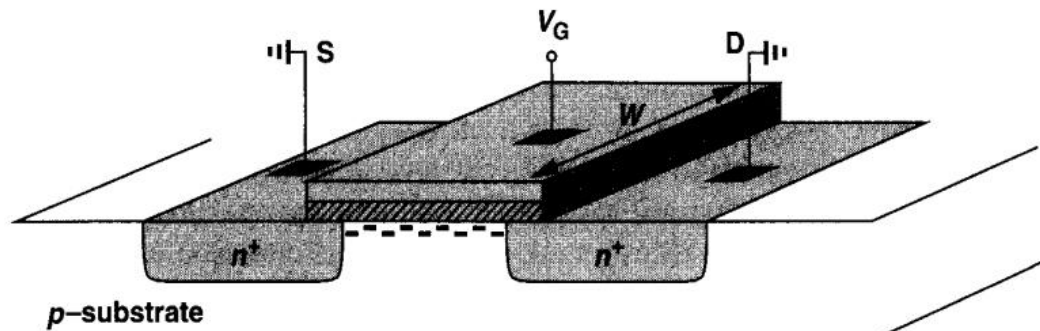


单阱结构

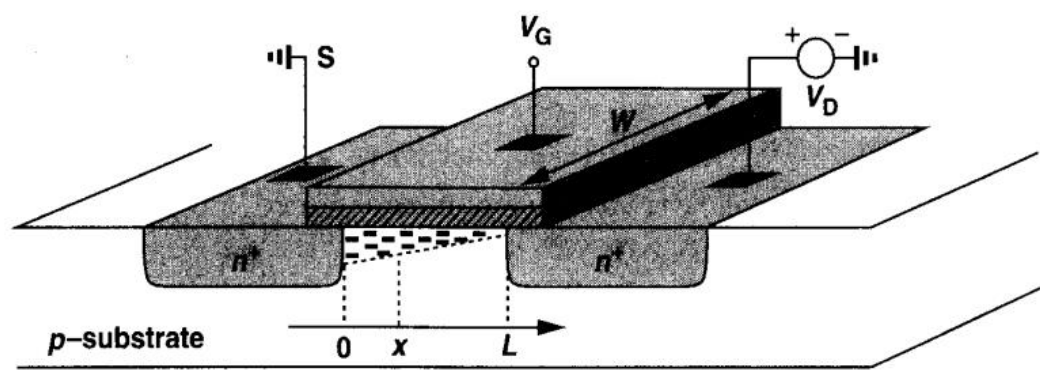


三阱结构

# MOS管工作原理



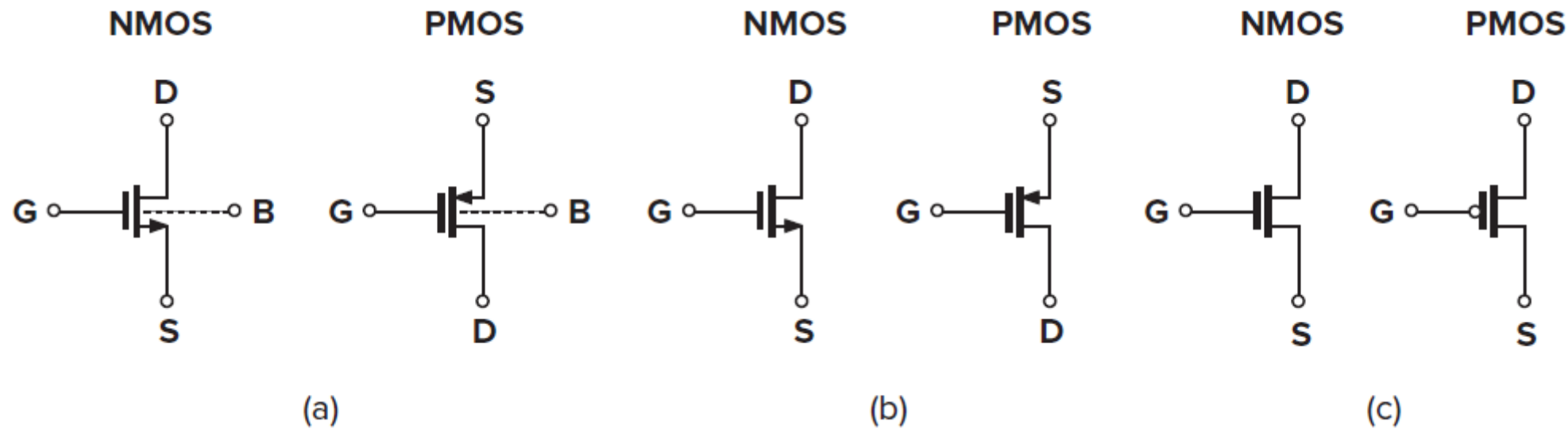
(a)



(b)

- 沟道形成 (阈值电压)
- 电压 (三维) 控制沟道电阻, 改变电流大小
- 载流子从源端流向漏端

# MOS管符号



# MOS管I-V特性

- 阈值电压
- I-V特性曲线
- 跨导计算

# 阈值电压的定义

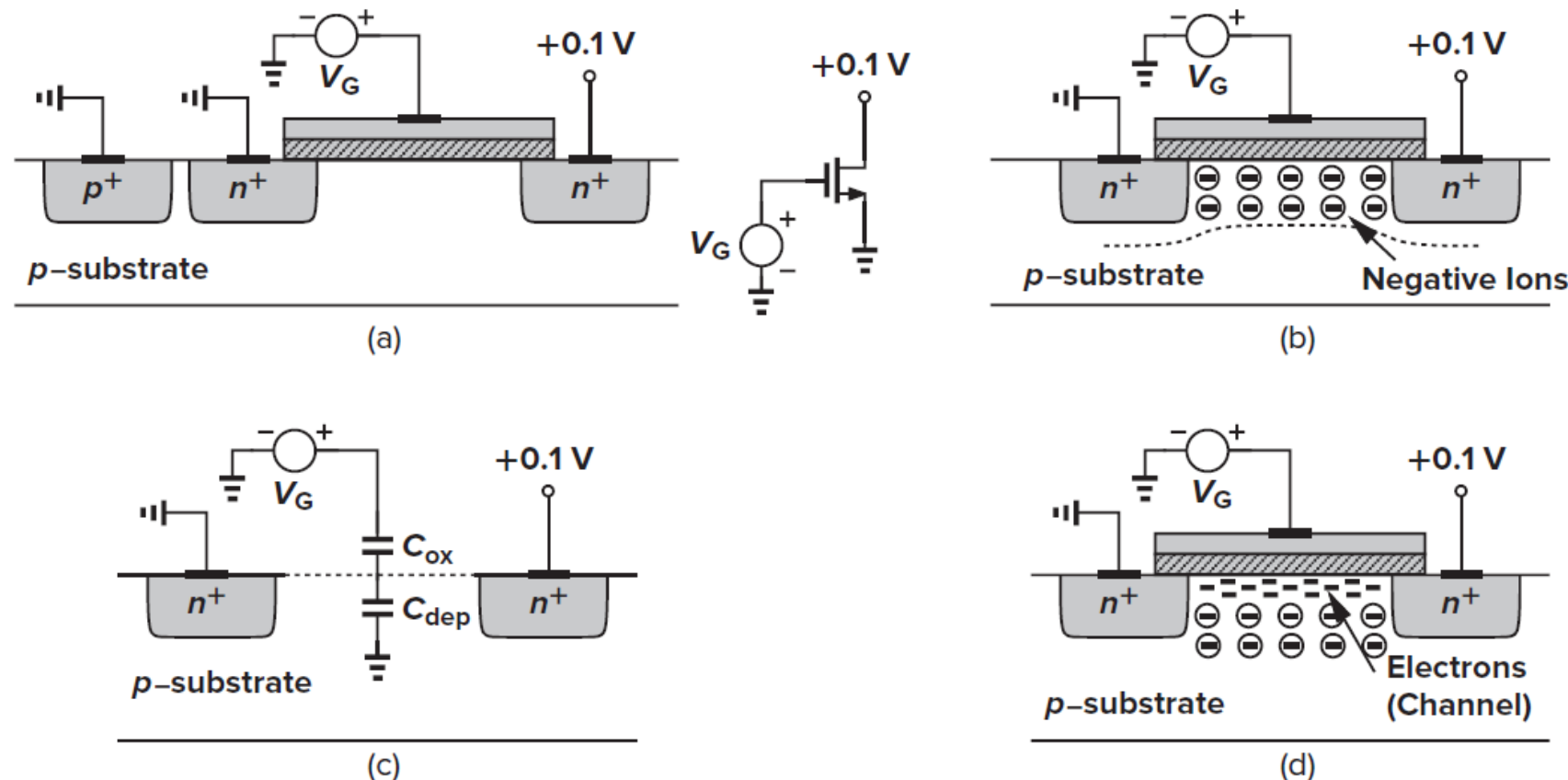


Figure 2.6 (a) A MOSFET driven by a gate voltage; (b) formation of depletion region; (c) onset of inversion; (d) formation of inversion layer.

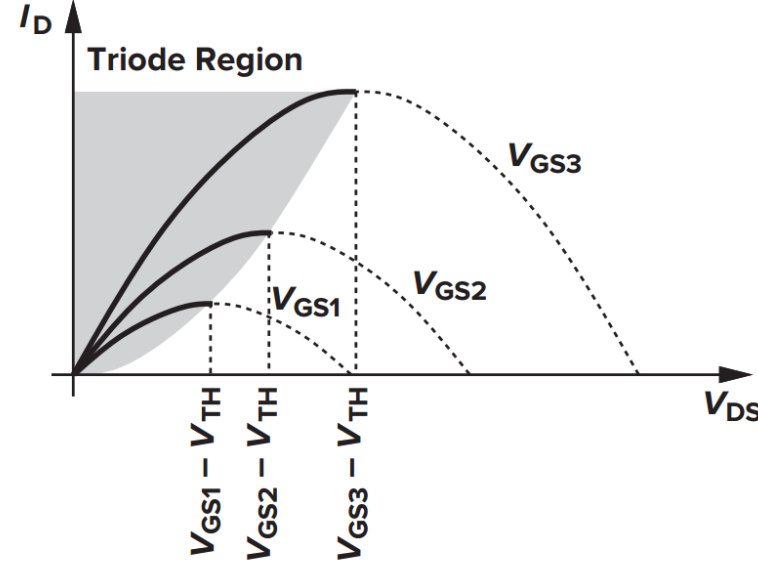
# 阈值电压的表达式

$$V_{TH} = \Phi_{MS} + 2\Phi_F + \frac{Q_{dep}}{C_{ox}}$$

- $\Phi_{MS}$ : 多晶硅与硅衬底的功函数差
- $\Phi_F$ : 费米势
- $Q_{dep}$ : 耗尽层电荷数
- $C_{ox}$ : 绝缘层电容

# I-V特性曲线 (1)

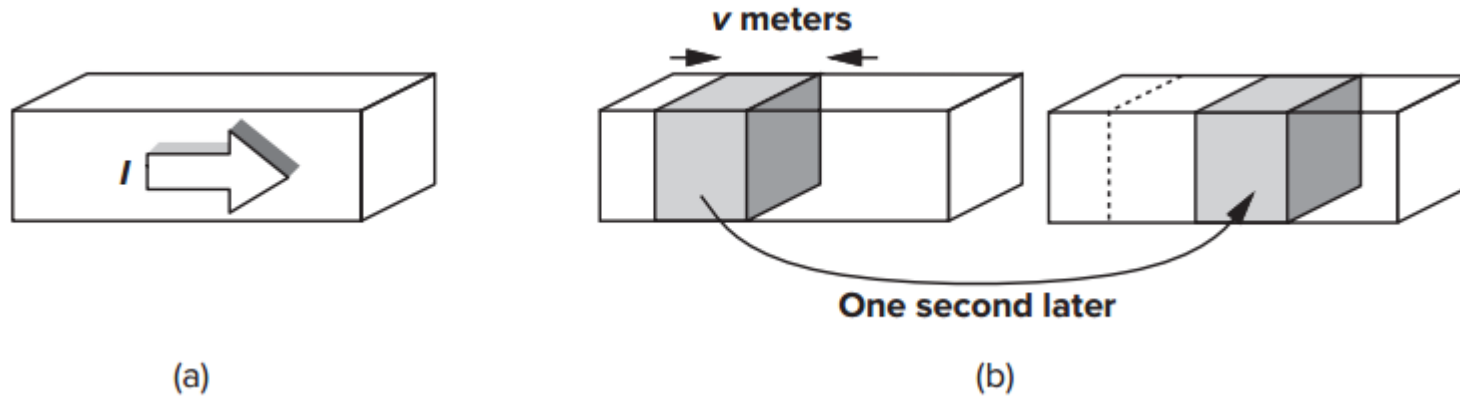
- 公式



(a)

$$I_D = \mu_n C_{ox} \frac{W}{L} \left[ (V_{GS} - V_{TH})V_{DS} - \frac{1}{2} V_{DS}^2 \right]$$

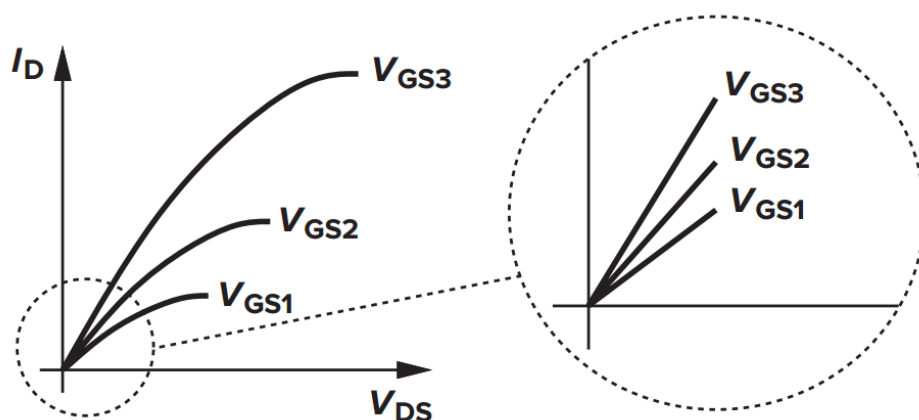
$$I_{D,MAX} = \frac{1}{2} \mu_n C_{ox} \frac{W}{L} [(V_{GS} - V_{TH})^2]$$



# I-V特性曲线 (2)

线性区

$$I_D \approx \mu_n C_{ox} \frac{W}{L} (V_{GS} - V_{TH}) V_{DS} \quad \text{when} \quad V_{DS} \ll 2(V_{GS} - V_{TH})$$



$$R_{on} = \frac{1}{\mu_n C_{ox} \frac{W}{L} (V_{GS} - V_{TH})}$$

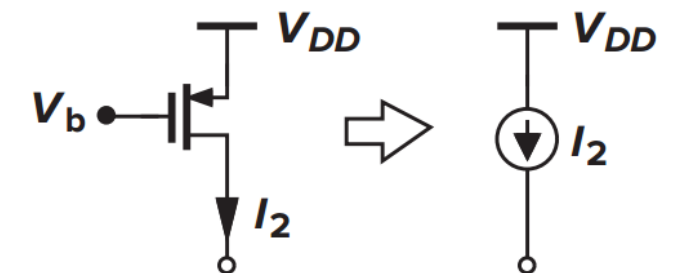
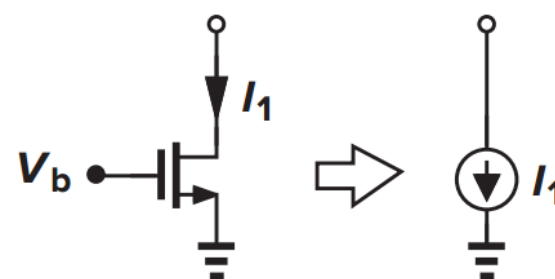
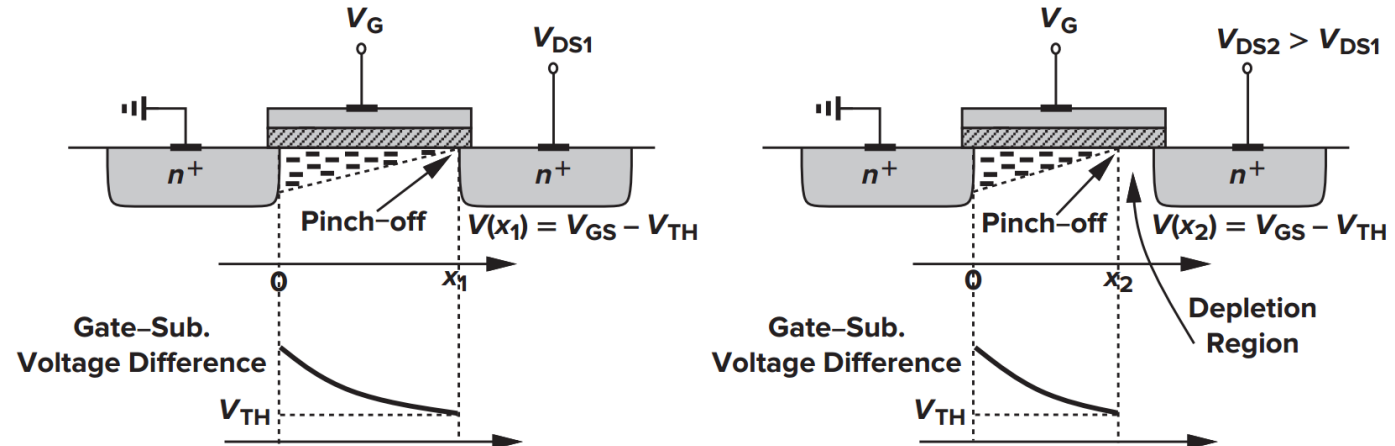
# I-V特性曲线 (3)

- 饱和区

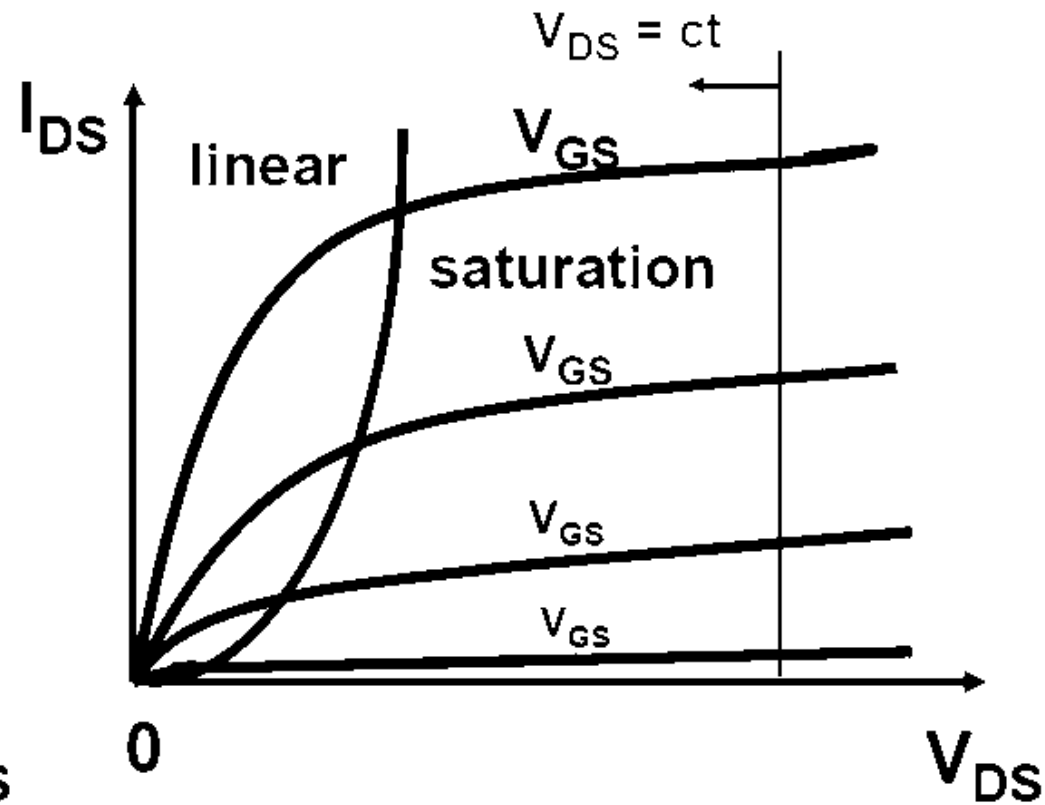
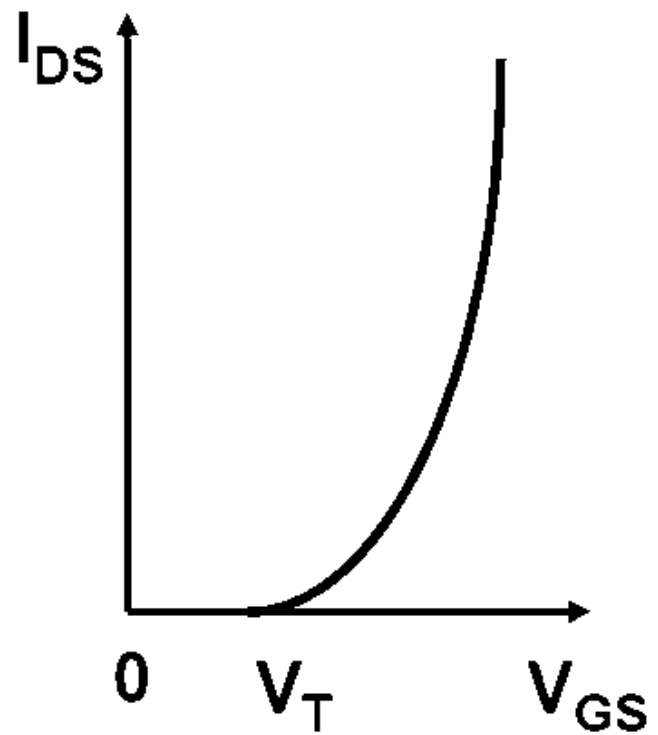
when  $V_{DS} = V_{GS} - V_{TH}$

$$I_{D,NMOS} = \frac{1}{2} \mu_n C_{ox} \frac{W}{L} (V_{GS} - V_{TH})^2$$

$$I_{D,PMOS} = -\frac{1}{2} \mu_p C_{ox} \frac{W}{L} (V_{GS} - V_{TH})^2$$



# I-V特性曲线 (4)



# I-V特性曲线 (5)

• 截止区

$$|V_{GS}| \leq |V_T| \quad I_{sub} = I_0 e^{\frac{V_{GS}-V_T}{nKT}} (1 - e^{-\frac{qV_{DS}}{KT}})$$

• 线性区

$$|V_{GS}| > |V_{Tn,p}|, |V_{DS}| \leq |V_{GS} - V_{Tn,p}|$$

$$I_{DS,nmos} = k_n \frac{W}{L} [(V_{GS} - V_{Tn})V_{DS} - \frac{1}{2}V_{DS}^2]$$

$$I_{DS,pmos} = -k_p \frac{W}{L} [(V_{GS} - V_{Tp})V_{DS} - \frac{1}{2}V_{DS}^2]$$

$$k'_{n,p} = \mu_{n,p} C_{ox}$$

• 饱和区

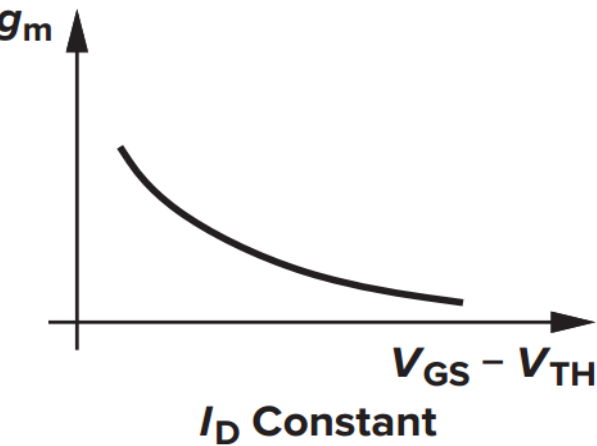
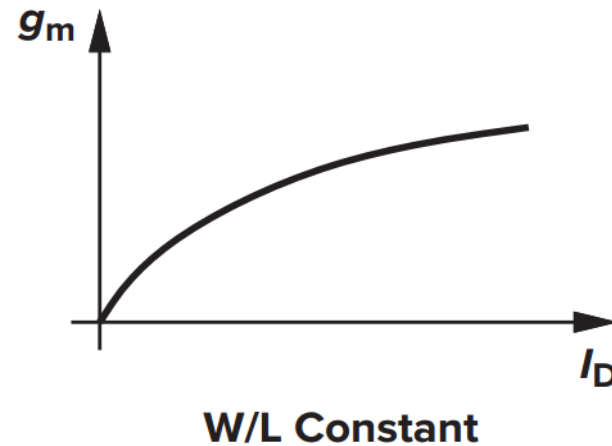
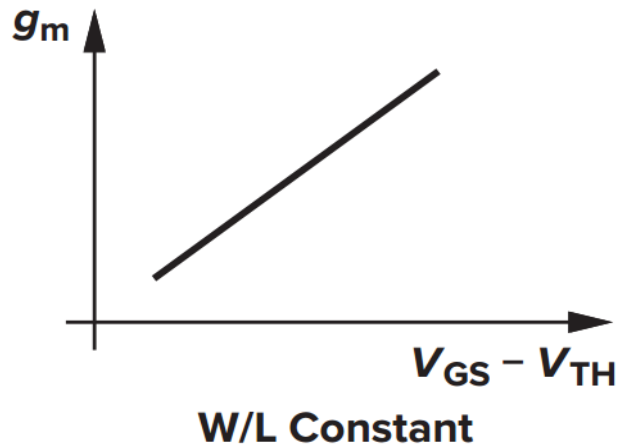
$$|V_{GS}| > |V_{Tn,p}|, |V_{DS}| > |V_{GS} - V_{Tn,p}| = |V_{ov}|$$

$$I_{DS,nmos} = \frac{1}{2} k_n \frac{W}{L} (V_{GS} - V_{Tn})^2 (1 + \lambda V_{DS})$$

# 电流方程的各个参数

- 电流方程中各个变量
  - $W$  : 栅宽
  - $L$  : 沟长
  - $V_{GS}$  : 栅源电压
  - $V_{DS}$  : 漏源电压
  - $V_T$  : 阈值电压
  - $V_{OV}$  : 过驱动电压,  $V_{OV} = V_{GS} - V_T$
  - $n$  : 比例系数, 非理想因子
  - $K$ : 工艺参数
  - $\lambda$  : 沟长调制系数

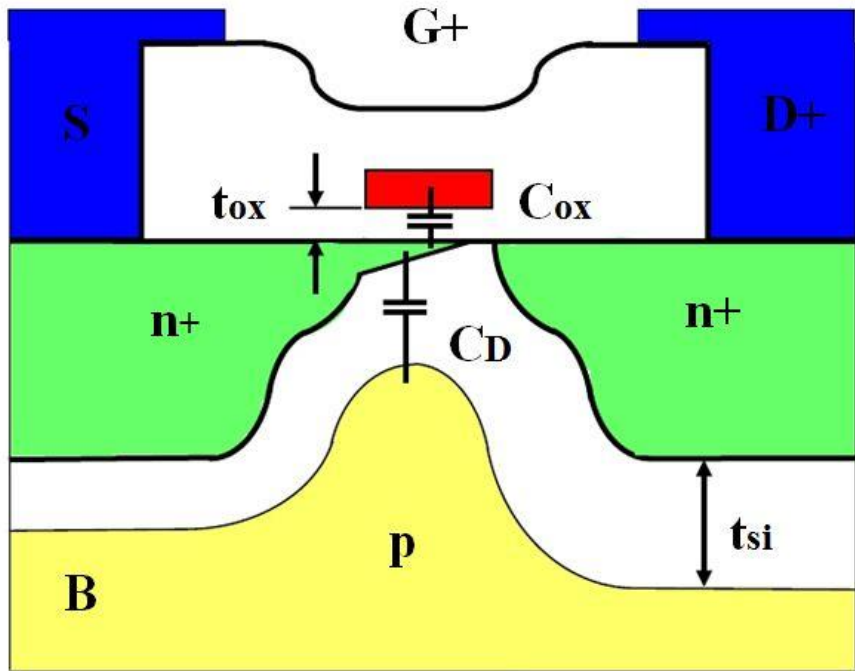
# 跨导计算



$$g_m = \left. \frac{\partial I_D}{\partial V_{GS}} \right|_{VDS \text{ const.}}$$

$$= \mu_n C_{ox} \frac{W}{L} (V_{GS} - V_{TH}) = \sqrt{2\mu_n C_{ox} \frac{W}{L} I_D} = \frac{2I_D}{V_{GS} - V_{TH}}$$

# $n$ 的计算



$$C_D = \frac{\epsilon_{si}}{t_{si}}$$

$$t_{si} = \sqrt{\frac{2\epsilon_{si}(\phi - V_{BD})}{qN_B}}$$

$$C_{ox} = \frac{\epsilon_{ox}}{t_{ox}}$$

$$\frac{C_D}{C_{ox}} = n - 1$$

# n计算实例

$$C_D = \frac{\epsilon_{si}}{t_{si}}$$

$$t_{si} = \sqrt{\frac{2\epsilon_{si}(\phi - V_{BD})}{qN_B}}$$

$$\epsilon_{si} = 1 \text{ pF/cm}$$

$$\epsilon_{ox} = 0.34 \text{ pF/cm}$$

$$\phi \approx 0.6 \text{ V}$$

$$q = 1.6 \cdot 10^{-19} \text{ C}$$

$$N_B \approx 4 \cdot 10^{17} \text{ cm}^{-3}$$

Example : L = 0.35 μm; W/L = 8

$$V_{BD} = -3.3 \text{ V} : t_{si} = 0.1 \mu\text{m}$$

$$C_D \approx 10^{-7} \text{ F/cm}^2$$

$$t_{ox} = \frac{L_{min}}{50}$$

$$t_{ox} = 7 \text{ nm}$$

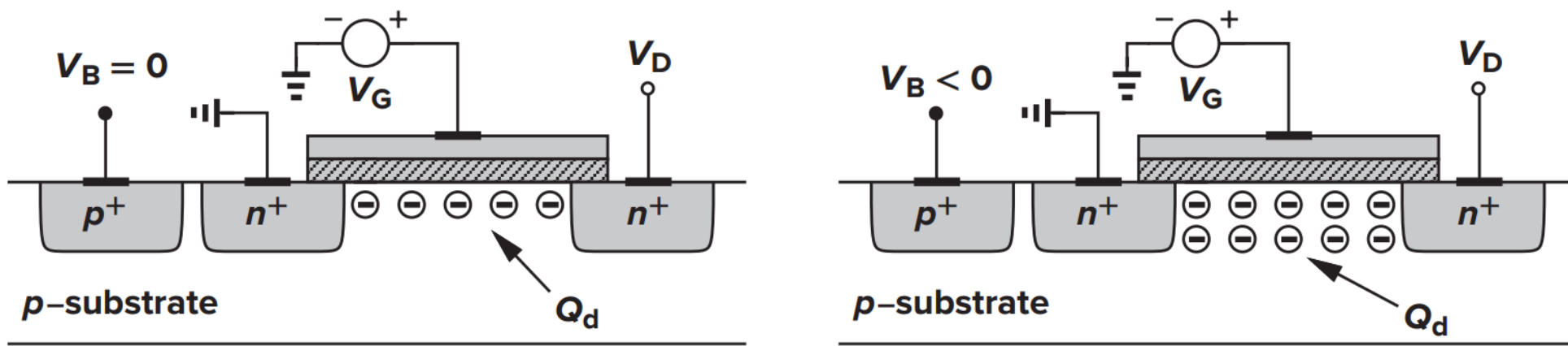
$$C_{ox} \approx 5 \cdot 10^{-7} \text{ F/cm}^2$$

$$\frac{C_D}{C_{ox}} = n - 1 \approx 0.2$$

# 2阶效应

- 体效应
- 沟道调制效应
- 亚阈值效应

# 衬偏效应



$$V_{TH} = V_{TH0} + \gamma \left( \sqrt{2\Phi_F + V_{SB}} - \sqrt{|2\Phi_F|} \right)$$

$$\gamma = \frac{1}{C_{ox}} \sqrt{2q\epsilon_{si}N_B}$$

$$V_{TH0} = \Phi_{MS} + 2\Phi_F + \frac{Q_{dep}}{C_{ox}}$$

$$\Phi_F = \frac{kT}{q} \ln \frac{N_B}{n_i}$$

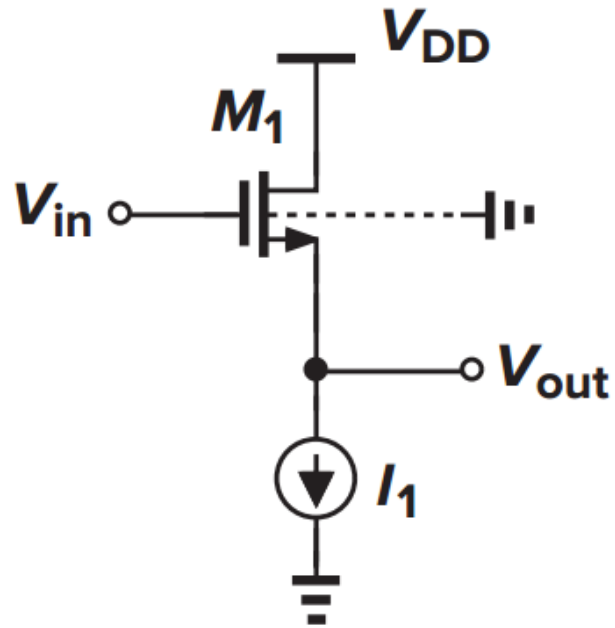
# 阈值电压与衬偏调制的关系

- 阈值电压的变化与耗尽区的反偏变化一致

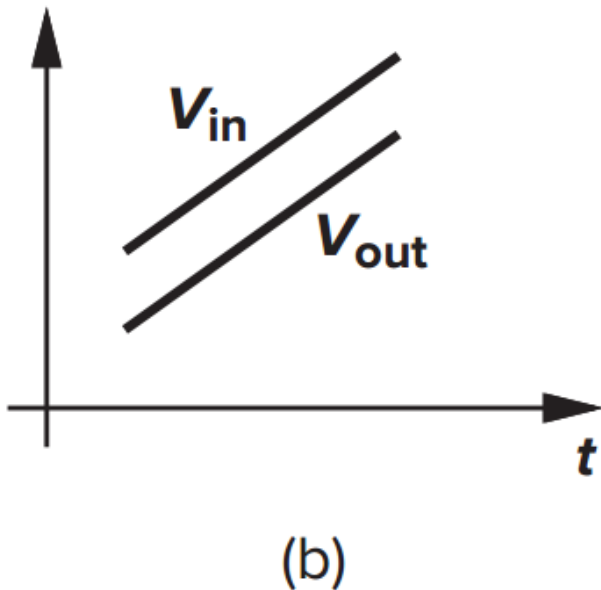
$V_s = CT$ , $V_b \uparrow$	$V_s = CT$ , $V_b \downarrow$	$V_s \uparrow$ , $V_b = CT$	$V_s \downarrow$ , $V_b = CT$
$V_{TN}$	—	+	+
$ V_{TP} $	+	—	—

- 对性能的影响
  - 源端电位与衬不一致：叠栅，传输管
  - 体效应可以提高晶体管的驱动能力

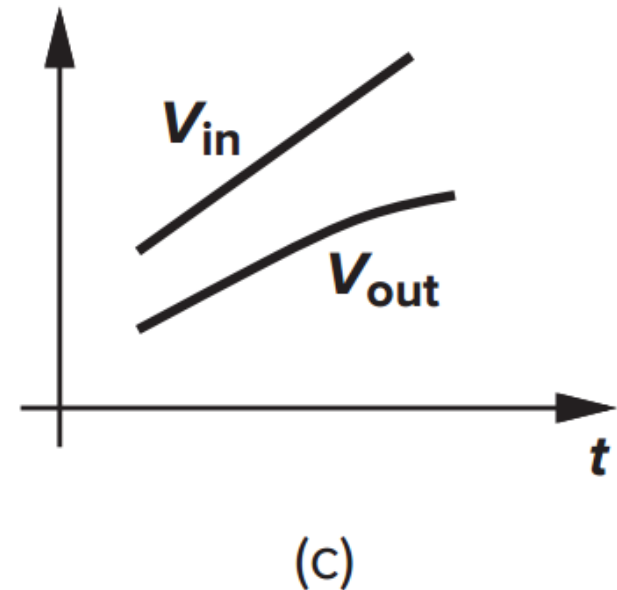
# 衬偏效应的影响 (例)



(a)



(b)

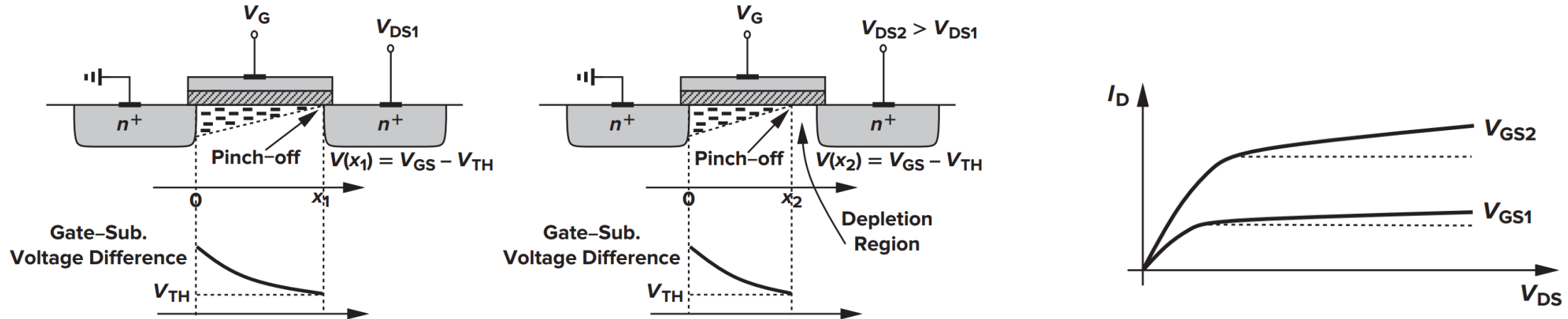


(c)

$$I_1 = \frac{1}{2} \mu_n C_{ox} \frac{W}{L} (V_{in} - V_{out} - V_{TH})^2$$

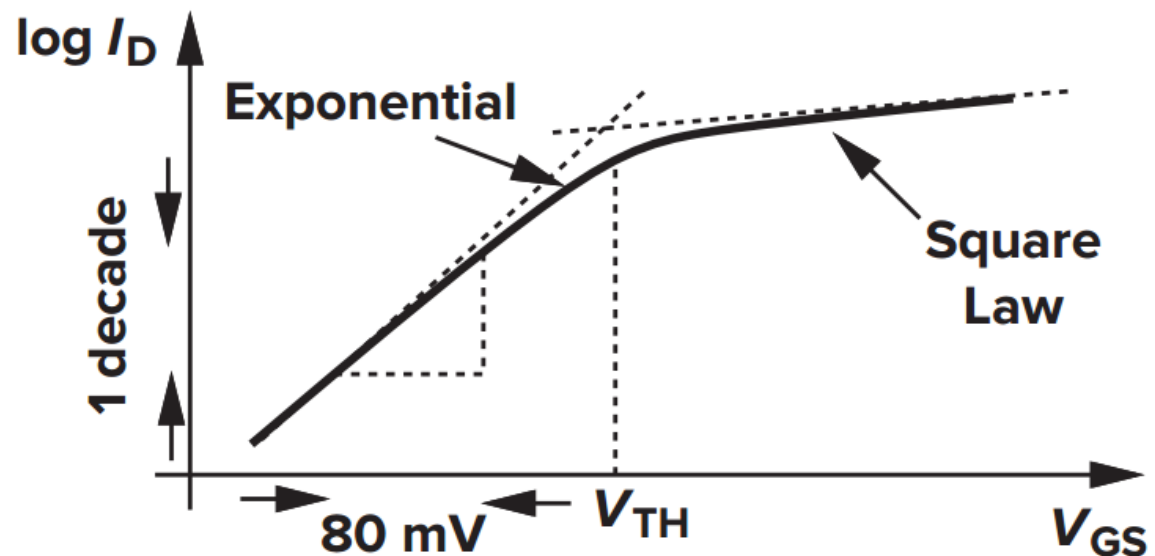
# 沟道调制效应

- 沟道夹断后有效沟道长度受到漏源电压的调制



$$I_D \approx \frac{1}{2} \mu_n C_{ox} \frac{W}{L} (V_{GS} - V_{TH})^2 (1 + \lambda V_{DS})$$

# 亚阈值效应



亚阈值电流方程

$$I_D = I_0 \exp \frac{V_{GS}}{nV_T}$$

亚阈值摆幅

$$S = \frac{dV_{GS}}{d \log I_D} = U_t \ln 10 n \approx 58 \text{ mV} * n$$

非理想因子，就是 $n$

$$n = 1 + C_D / C_{ox}$$

过驱动电压

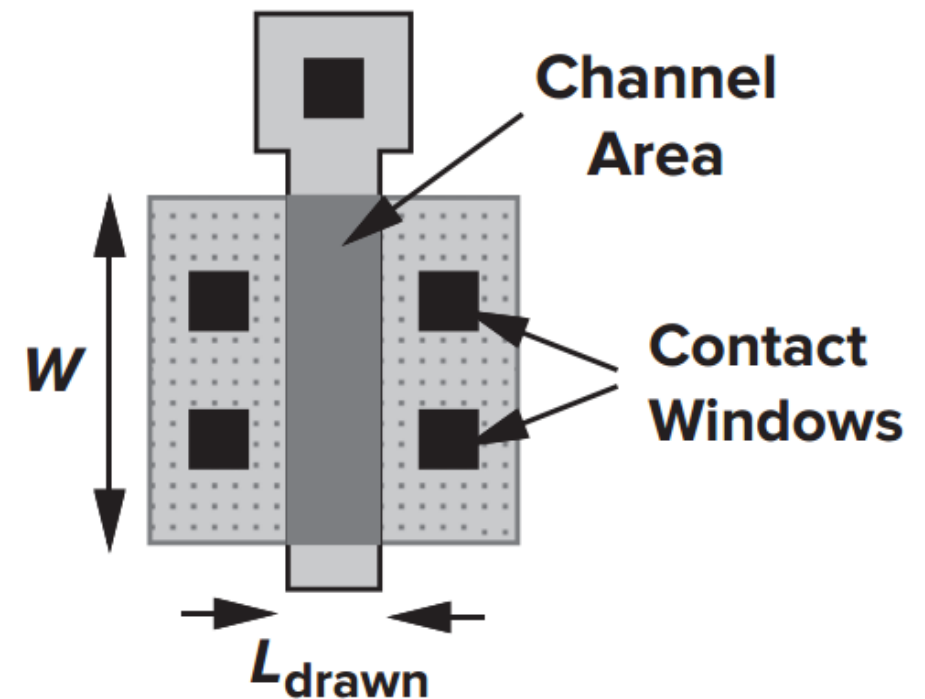
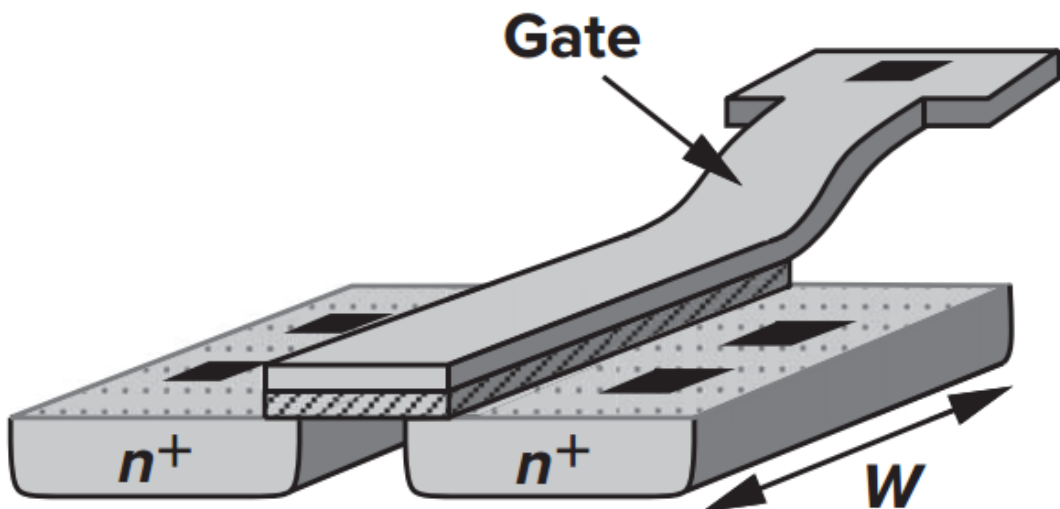
$$\frac{I_D}{nV_T} = \frac{2I_D}{(V_{GS} - V_T)} \Rightarrow (V_{GS} - V_T) = 2nU_t$$

# MOS管模型

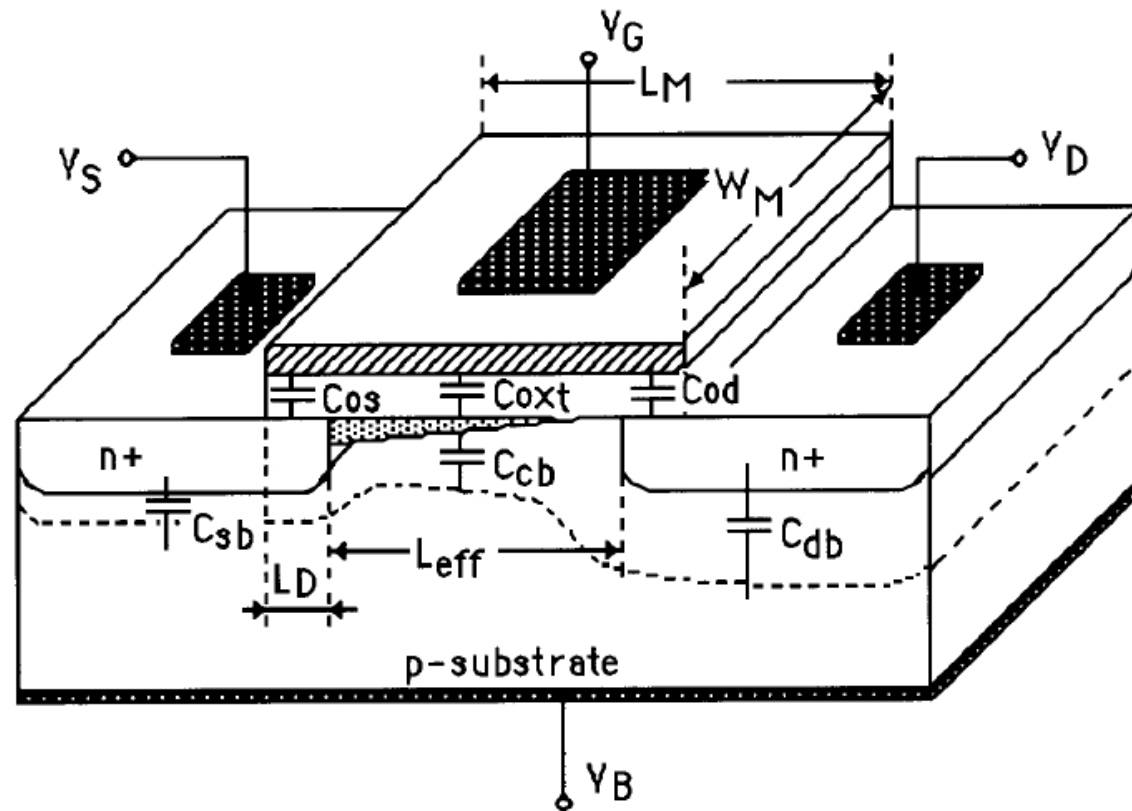
- 版图
- MOS管的电容
- 小信号等效电路
- SPICE模型

# MOS管版图

- Bird's eye view and vertical view

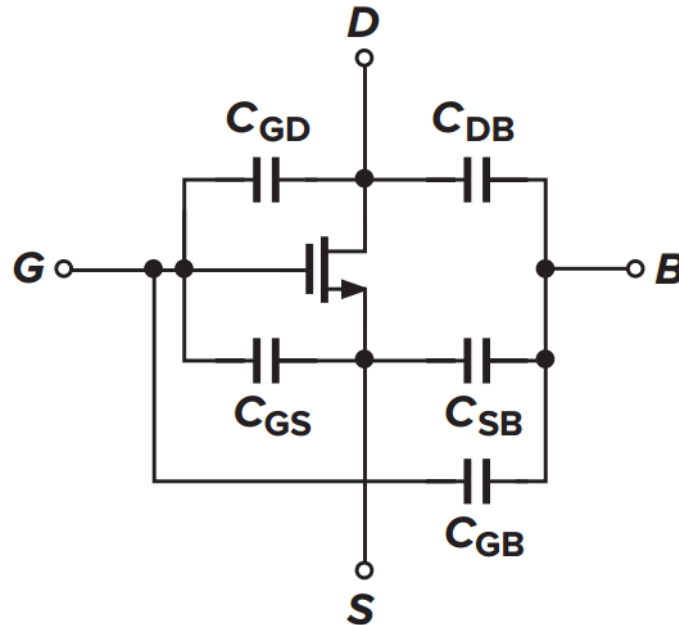


# MOS管的电容分布



# MOS管的电容 (1)

- 电容模型



- 线形区

$$C_{gs} = C_{gd} = \frac{WLC_{ox}}{2} + WC_{ov}$$

- 饱和区

$$C_{gs} = \frac{2WLC_{ox}}{3} + WC_{ov} \quad C_{gd} = WC_{ov}$$

- 截至区

$$C_{gs} = C_{gd} = WC_{ov}$$

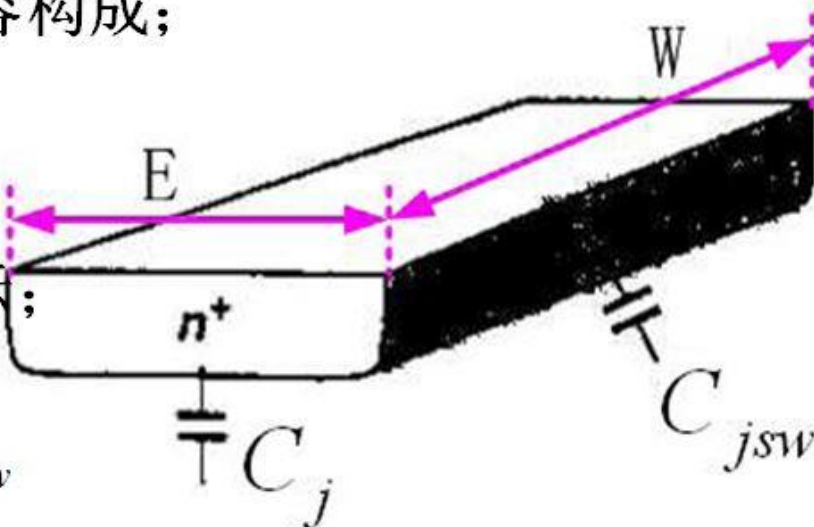
# MOS管的电容 (2)

- 结电容

$$C_{sb} = \frac{C_{sb0}}{\sqrt{1 + \frac{V_{SB}}{\phi_0}}} \quad C_{db} = \frac{C_{db0}}{\sqrt{1 + \frac{V_{DB}}{\phi_0}}}$$

■

- ◆  $C_{s,b0}$ 是由底面电容和侧边电容构成;
- ◆ 单位面积底面电容用 $C_j$ 表示;
- ◆ 单位长度侧边电容用 $C_{jsw}$ 表示;



$$C_{s,db0} = WEC_j + 2(W + E)C_{jsw}$$

# MOS管的电容 (例)

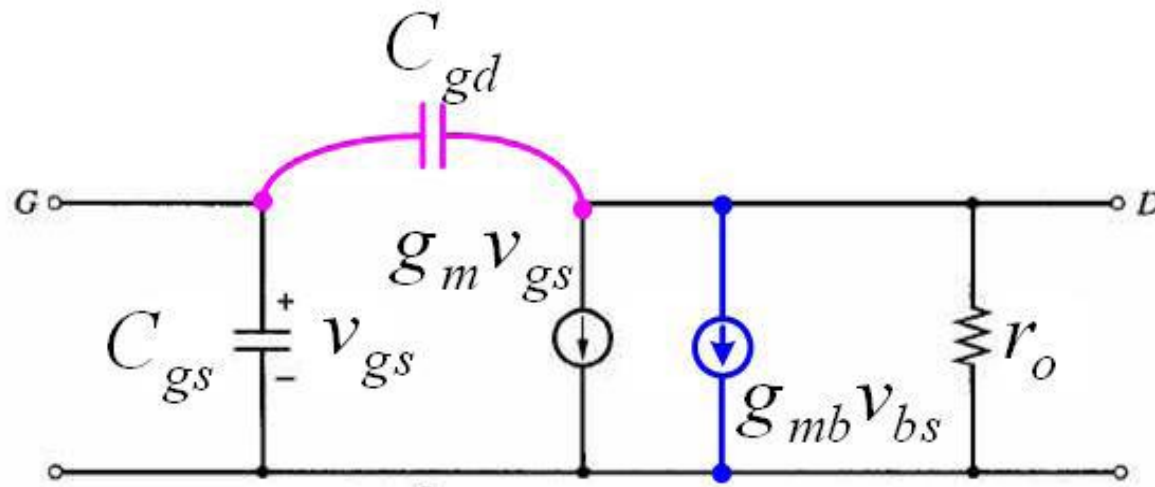
- UMC180, NMOS
  - $W=0.24\mu m, L = 0.18\mu m$
  - $T_{ox} = 4.2e - 9 m$
  - $C_{ox} = 8.22e - 3 F/m^2$
  - $C_1 = WLC_{ox} = 0.355fF$
  - $C_{ov} \sim 1e-16 F/\mu m$
  - $C_{db} \sim 1e-15 F/\mu m^2$

$C_{gs}$ :  $0.1 \sim 1fF$

$C_{ov,gs}, C_{ov,gd}$ :  $0.01 \sim 0.1fF$

$C_{db}$ :  $0.1 \sim 1fF$

# NMOS小信号等效电路

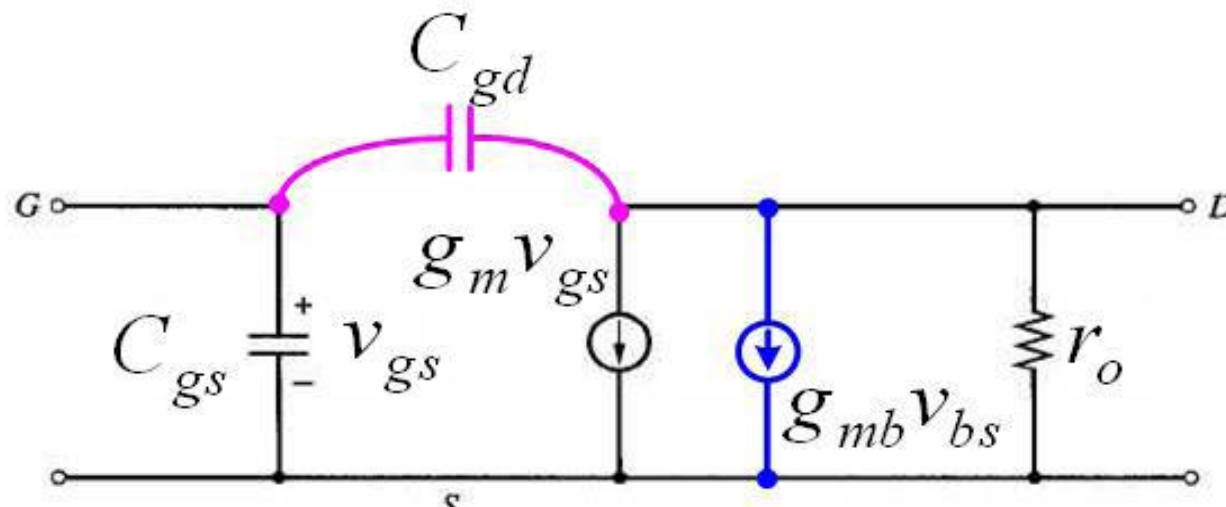


$$I_{DS,nmos} = \frac{1}{2} k_n \frac{W}{L} (V_{GS} - V_{Tn})^2 (1 + \lambda V_{DS})$$

$$g_m = \frac{\partial I_{DS}}{\partial V_{GS}} = \frac{2I_{DS}}{V_{GS} - V_{Tn}} \quad r_o = \frac{\partial V_{DS}}{\partial I_{DS}} = \frac{1}{\partial I_{DS} / \partial V_{DS}} \approx \frac{1}{\lambda I_{DS}}$$

$$g_{mb} = \frac{\partial I_{DS}}{\partial V_{BS}} = \frac{\partial I_{DS}}{\partial V_{Tn}} \frac{\partial V_{Tn}}{\partial V_{BS}} = g_m \frac{\gamma}{2\sqrt{2\phi_F + V_{SB}}} = \eta g_m$$

# PMOS小信号等效电路



$$I_{DS, pmos} = -\frac{1}{2} k_n \frac{W}{L} (V_{GS} - V_{Tp})^2 (1 - \lambda V_{DS})$$

$$g_m = \frac{\partial I_{DS}}{\partial V_{GS}} = \frac{2I_{DS}}{V_{GS} - V_{Tp}} \quad r_o = \frac{\partial V_{DS}}{\partial I_{DS}} = \frac{1}{\partial I_{DS} / \partial V_{DS}} \approx \frac{1}{-\lambda I_{DS}}$$

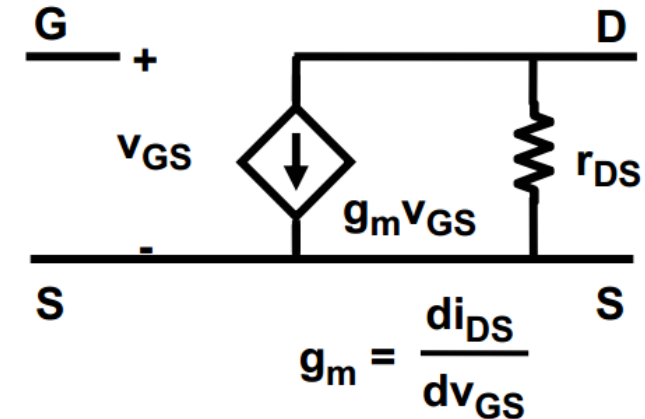
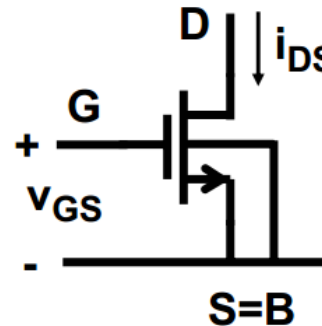
$$g_{mb} = \frac{\partial I_{DS}}{\partial V_{BS}} = \frac{\partial I_{DS}}{\partial V_{Tn}} \frac{\partial V_{Tn}}{\partial V_{BS}} = g_m \frac{\gamma}{2\sqrt{2\phi_F + V_{BS}}} = \eta g_m$$

# 沟道调制效应对放大倍数的影响

- 输出电阻

$$r_{DS} = r_o = \frac{1}{\lambda I_{DS}}$$

$$\lambda = \frac{1}{V_E L}$$



- 跨导

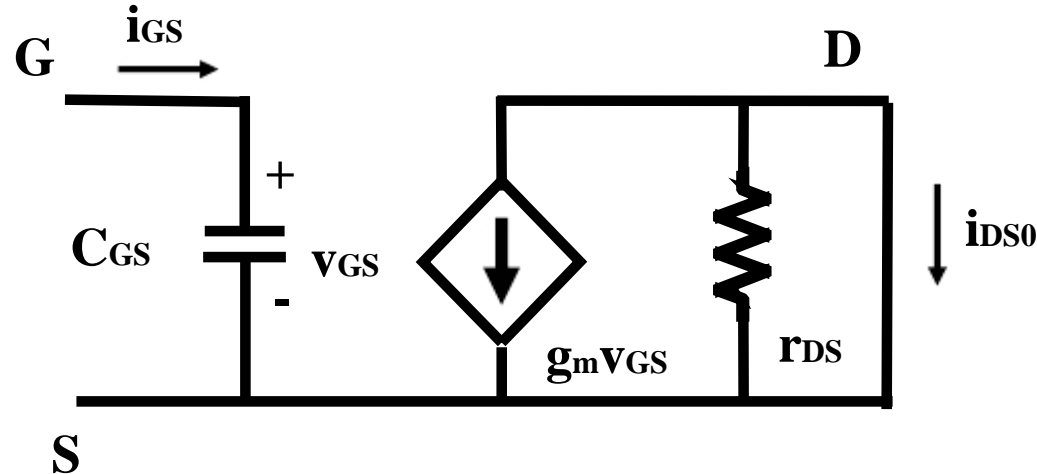
$$g_m = 2k'_n \frac{W}{L} (V_{GS} - V_T) = 2 \sqrt{k'_n \frac{W}{L} I_{DS}} = \frac{2I_{DS}}{V_{GS} - V_T}$$

- 放大倍数

$$A_V = g_m r_{DS} = \frac{2I_{DS}}{V_{GS} - V_T} * \frac{1}{\lambda I_{DS}} = \frac{2}{\lambda(V_{GS} - V_T)} = \frac{2V_E L}{V_{ov}}$$

放大倍数与L成正比，与V<sub>ov</sub>成反比！

# 特征频率



$$i_{GS} = V_{GS} C_{GS} s$$

$$i_{DS} = g_m V_{GS}$$

$$C_{GS} = \frac{2}{3} W L C_{OX} \quad g_m = 2k' \frac{W}{L} (V_{GS} - V_T)$$

$$f_T = \frac{g_m}{2\pi C_{GS}} = \frac{1}{2\pi} \frac{3}{2n} \frac{\mu}{L^2} (V_{GS} - V_T)$$

特征频率与  $V_{ov}$  成正比!

# 栅跨导和衬跨导比较

- $\eta$  大多数情况下小于1

$$\eta \equiv \frac{g_{mb}}{g_m}$$

$$\eta \approx \frac{\gamma}{2(2\Phi_F + V_{SB})^{1/2}}$$

$$\epsilon_{si} = 1 \text{ pF/cm}$$

$$C_{ox} = 5 \times 10^7 \text{ F/cm}^2$$

$$N_B = 4 \times 10^{17} \text{ cm}^3$$

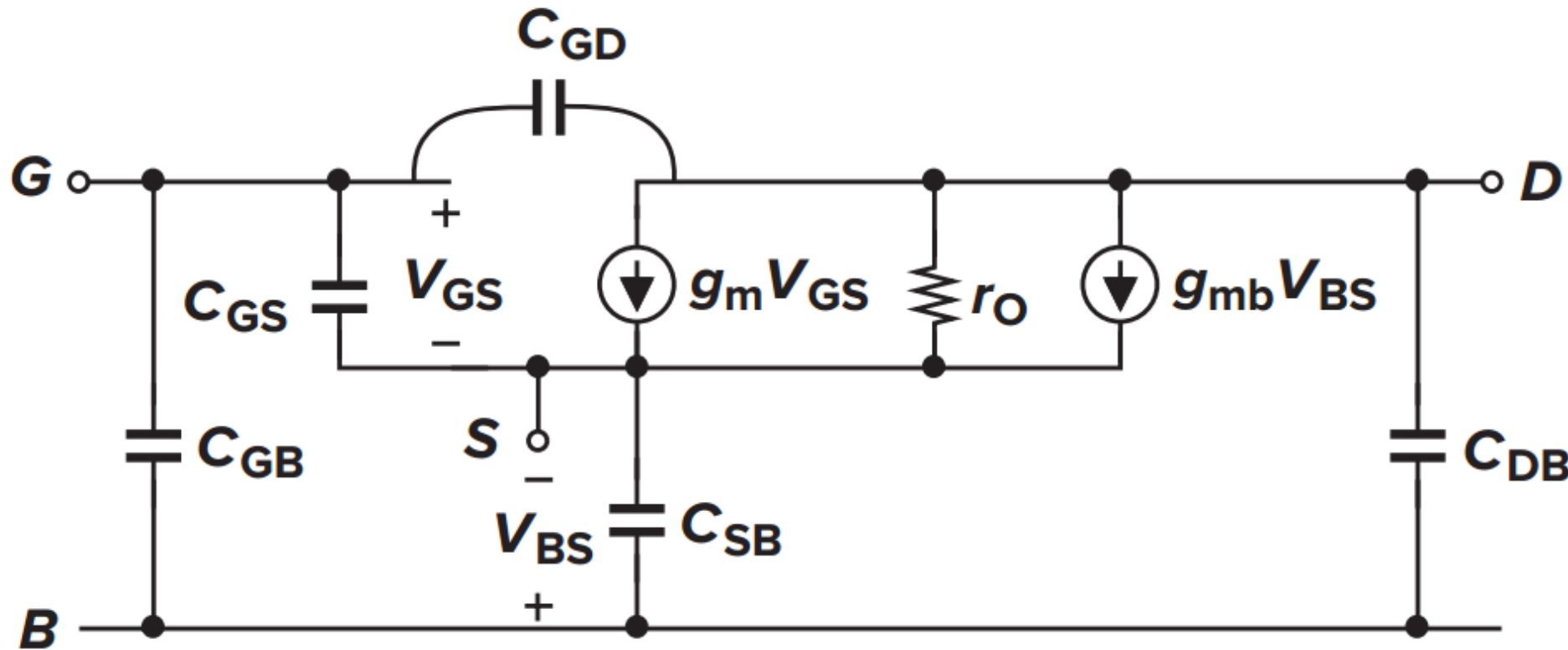
$$2\Phi_F = 0.6V$$

$$V_{SB} = 1.8V$$

$$\gamma = 0.714V^{1/2}$$

$$\eta \approx 0.2$$

# 完整的小信号等效电路



# 短沟道效应的原因

- 电压降低并不能等比例降低电场；
- 内在电势不会降低或忽略；
- S/D结深不能轻易的减小；
- 迁移率随着衬底掺杂浓度的上升而下降；
- 亚阈值斜率无法等比例下降；

$$W_d = \sqrt{\frac{2\epsilon_{si}}{q} \left( \frac{1}{N_A} + \frac{1}{N_D} \right) (\phi_B + V_R)}$$

# 短沟道效应

- 阈值电压起伏效应
- 反短沟效应
- 迁移率退化效应
- 速度饱和效应
- 热载流子效应
- 输出阻抗起伏效应

# 亚阈值斜率

- 亚阈值电流

$$I_D = \mu C_d \frac{W}{L} V_T^2 \left( \exp \frac{V_{GS} - V_{TH}}{\zeta V_T} \right) \left( 1 - \exp \frac{-V_{DS}}{V_T} \right)$$

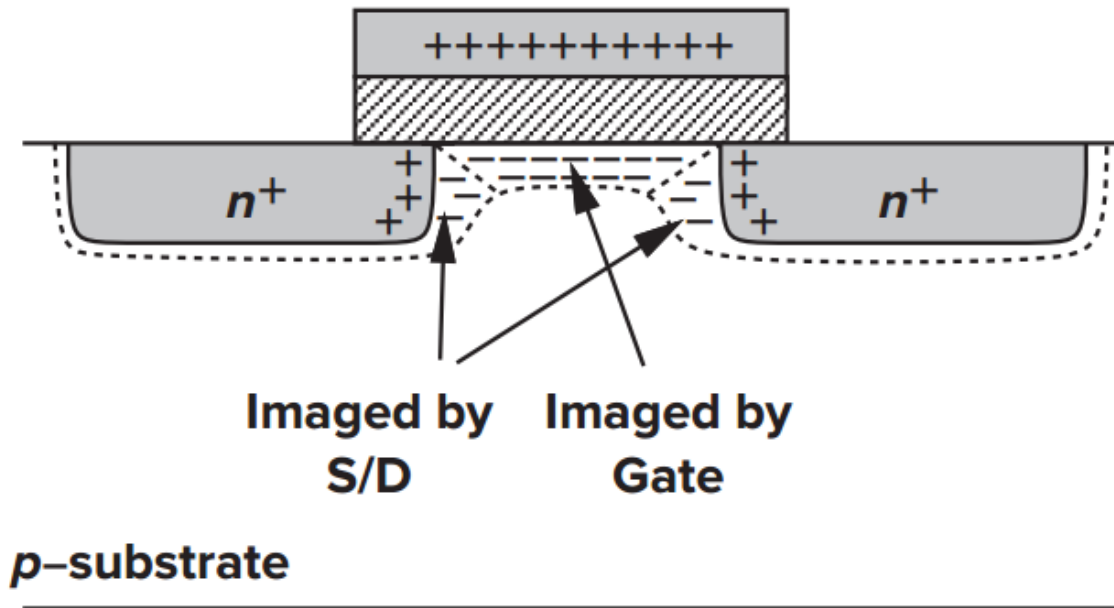
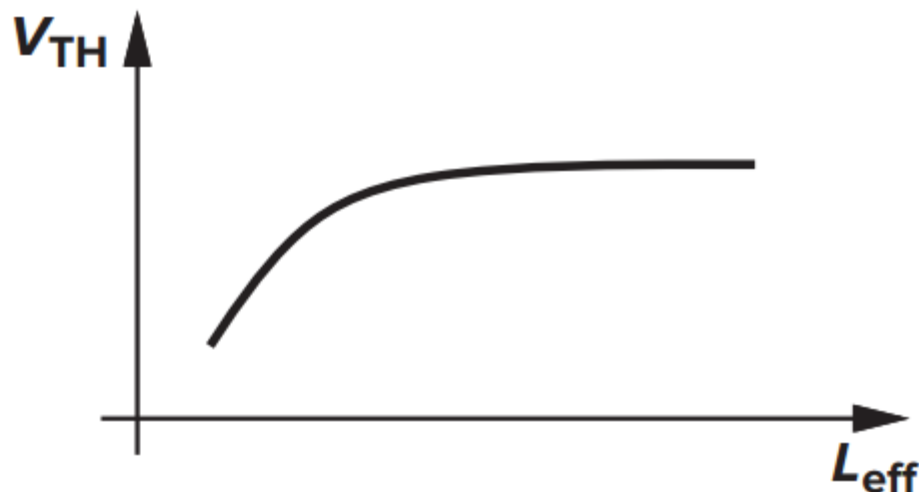
- 亚阈值斜率

$$S = \frac{1}{\partial (\log_{10} I_D) / \partial V_{GS}} = \frac{1}{(\log_{10} e) \frac{1}{\zeta V_T}} = 2.3 V_T \left( 1 + \frac{C_d}{C_{ox}} \right) \text{V/dec}$$

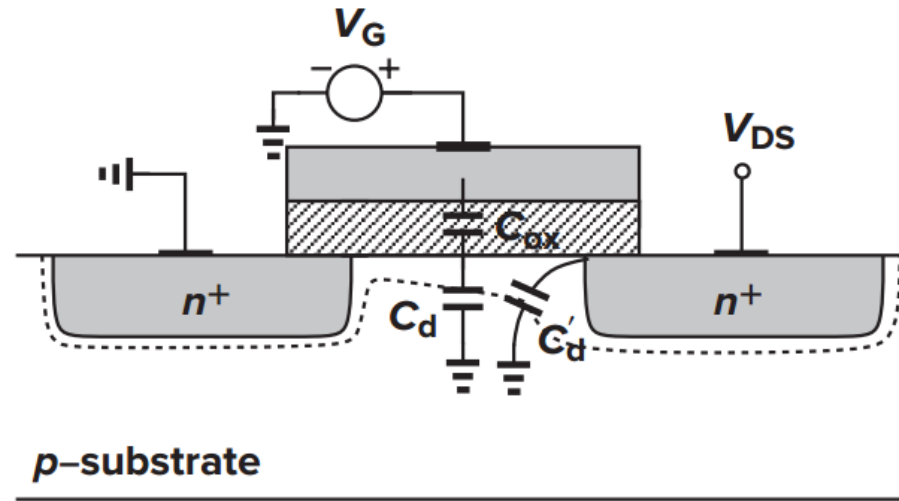
亚阈值斜率无法等比例缩小限制了阈值的降低！

# 阈值与沟道长度的关系

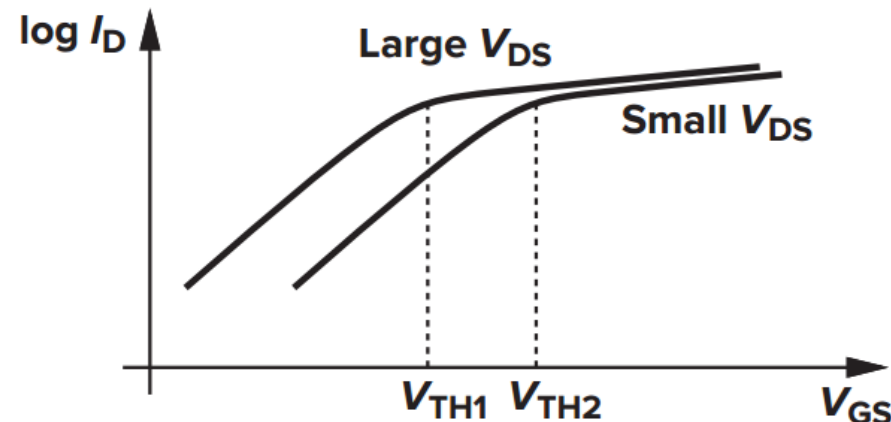
- 源，漏镜像电荷影响了阈值的变化



# DIBL (drain-induced barrier lowering) 效应



(a)

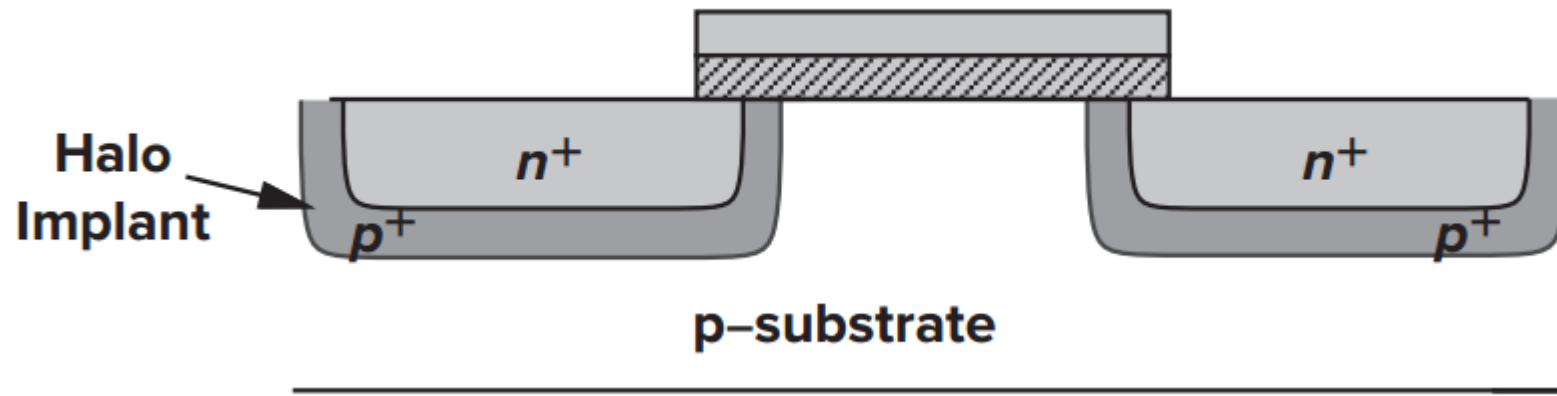


(b)

小尺寸场效应晶体管 (FET) 中所出现的一种不良现象，即是当沟道长度减小、电压 $V_{DS}$ 增加、使得漏结与源结的耗尽层靠近时，沟道中的电力线可以从漏区穿越到源区，并导致源极端势垒高度降低，从而源区注入到沟道的电子数量增加，结果漏极电流增加。沟道长度越短，DIBL效应就越严重。

- a) 使场效应晶体管的阈值电压降低，影响到器件的整个性能。
- b) 使输出伏安特性曲线不饱和，即导致输出交流电阻降低、器件的电压增益下降。（DIBL的这种作用与沟道长度调制效应的一样，都将导致小尺寸晶体管的电压增益下降。）
- c) 限制着小尺寸MOSFET 进一步缩小尺寸，实际上这往往也就是ULSI进一步提高集成度所受到的一种限制。

# 反短沟效应 (Reverse Short-Channel Effect)



$$V_{TH} = \phi_{MS} + 2\phi_F + \frac{Q_{dep}}{C_{ox}}$$

$$\phi_F = (kT/q) \ln(N_{sub}/n_i) \quad Q_{dep} = \sqrt{4q\epsilon_{si}|\phi_F|N_{sub}} \quad L \uparrow, N_{sub} \downarrow, V_{TH} \downarrow$$

# 迁移率退化效应

- 强场下的晶格散射加强导致迁移率下降

$$\mu_{eff} = \frac{\mu_0}{1 + \theta(V_{GS} - V_{TH})} \quad \theta \approx 10^{-7}/T_{ox}$$

$$I_D = \frac{1}{2} \frac{\mu_0 C_{ox}}{1 + \theta(V_{GS} - V_{TH})} \frac{W}{L} (V_{GS} - V_{TH})^2$$

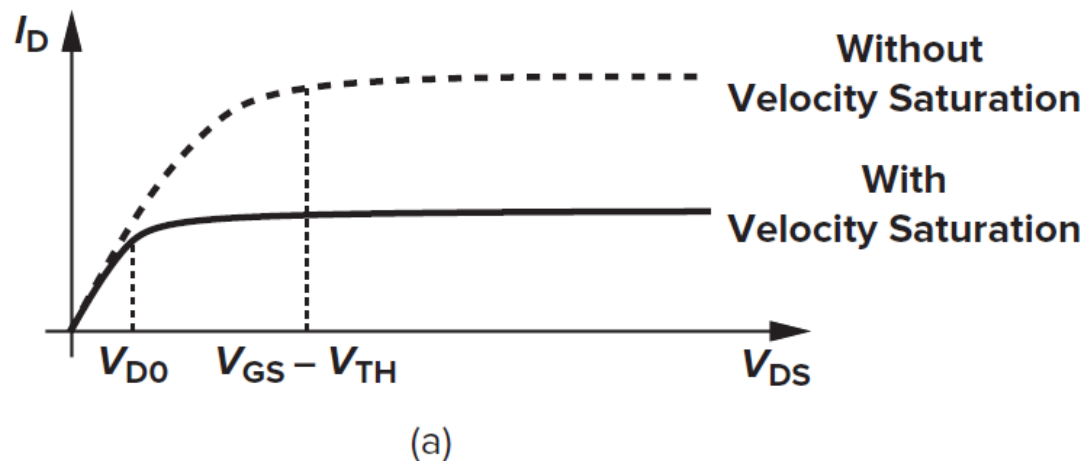
$$I_D \approx \frac{1}{2} \mu_0 C_{ox} \frac{W}{L} [(V_{GS} - V_{TH})^2 - \theta(V_{GS} - V_{TH})^3] \quad \text{if } \theta(V_{GS} - V_{TH}) \ll 1$$

# 速度饱和效应

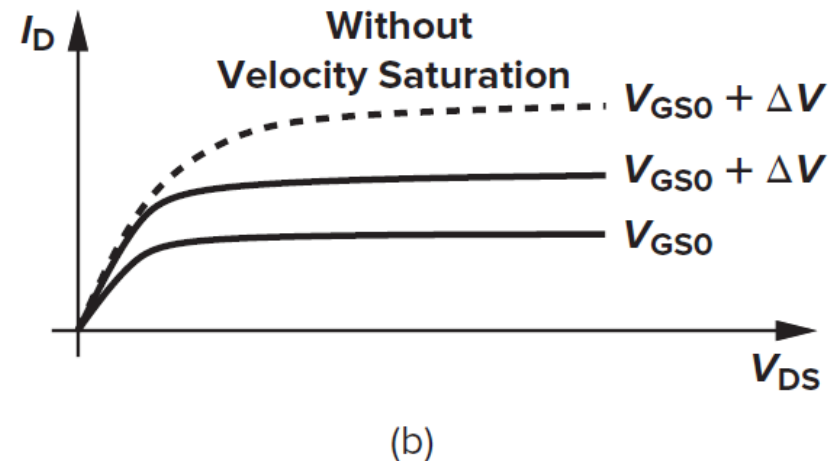
- 载流子的速度趋于饱和的主要原因是由于散射效应，也即是载流子间的碰撞导致的。

$$I_D = v_{sat} Q_d$$

$$= v_{sat} W C_{ox} (V_{GS} - V_{TH})$$



速度饱和效应



跨导减少

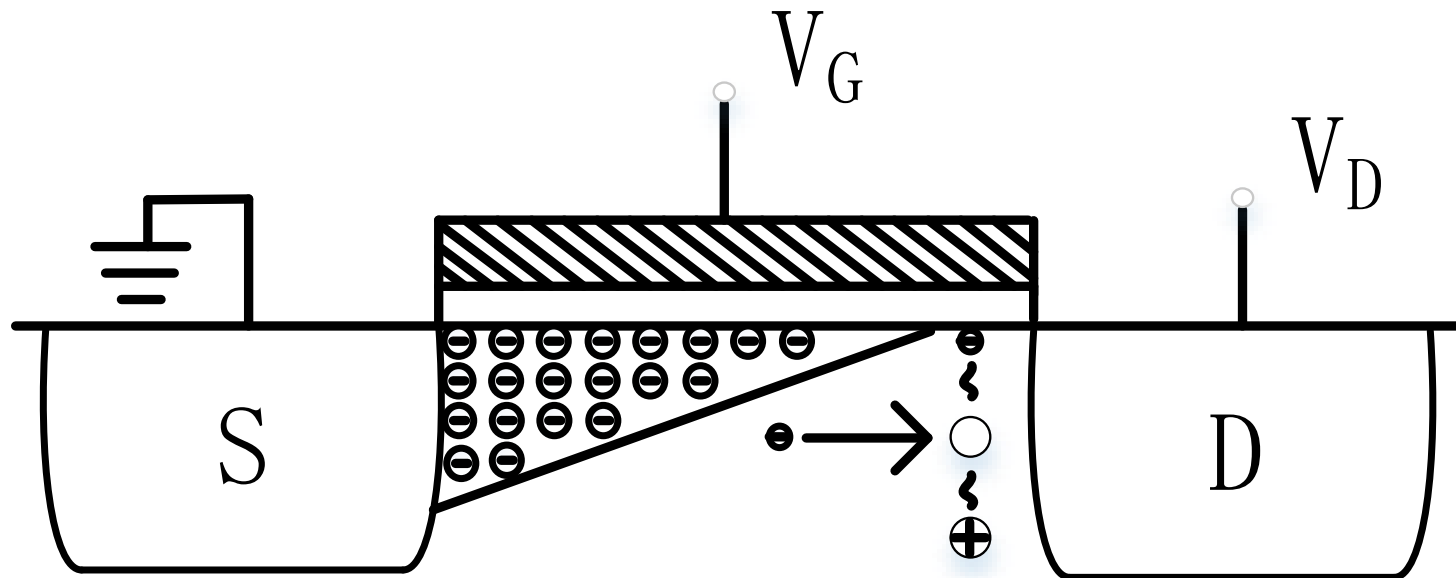
# 速度饱和的完整公式

$$I_D = WC_{ox}v_{sat} \frac{(V_{GS} - V_{TH})^2}{V_{GS} - V_{TH} + 2\frac{v_{sat}L}{\mu_{eff}}} \quad V_{DS,sat} = \frac{2\mu_{eff}L(V_{GS} - V_{TH})}{2\mu_{eff}L + V_{GS} - V_{TH}}$$

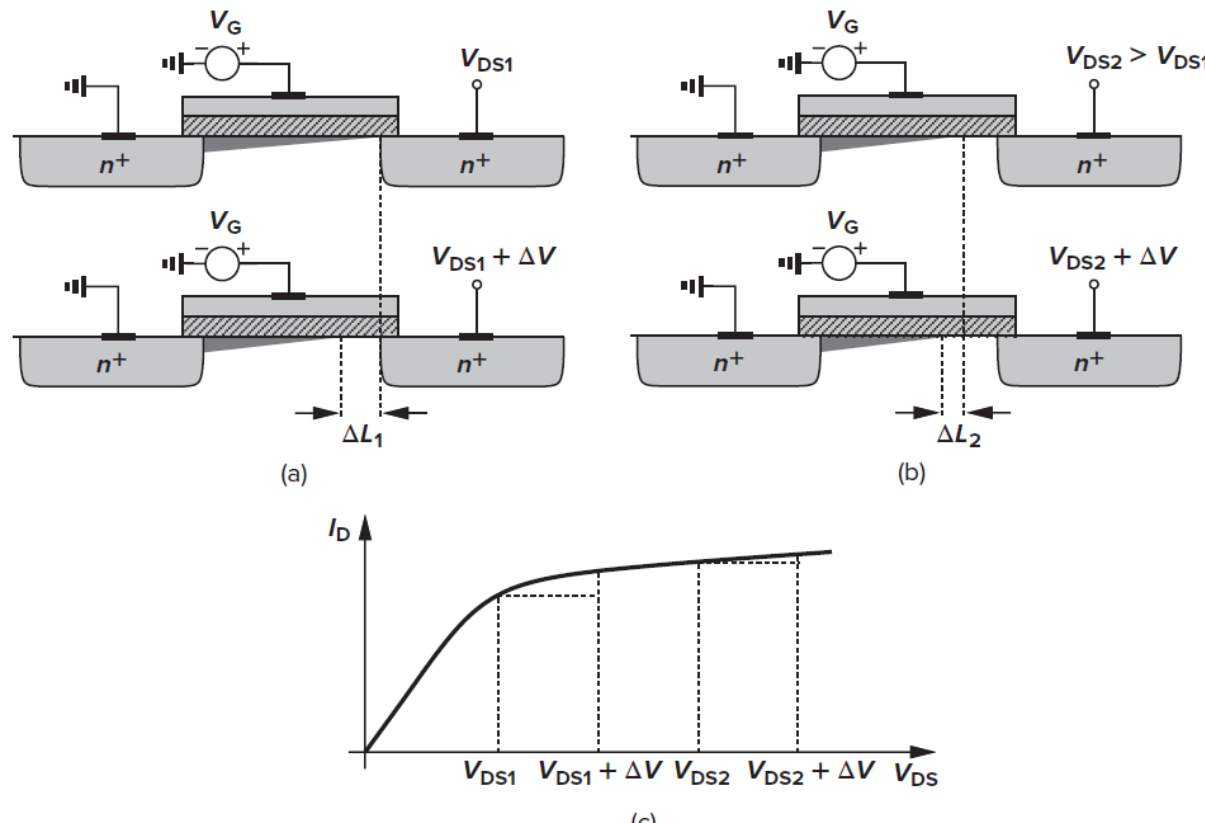
$$\begin{aligned} I_D &= WC_{ox}v_{sat} \frac{(V_{GS} - V_{TH})^2}{V_{GS} - V_{TH} + \frac{2v_{sat}L}{\mu_0}[1 + \theta(V_{GS} - V_{TH})]} \\ &= WC_{ox}v_{sat} \frac{(V_{GS} - V_{TH})^2}{\frac{2v_{sat}L}{\mu_0} + \left(1 + \frac{2v_{sat}L\theta}{\mu_0}\right)(V_{GS} - V_{TH})} \\ &= \frac{1}{2}\mu_0C_{ox}\frac{W}{L} \frac{(V_{GS} - V_{TH})^2}{1 + \left(\frac{\mu_0}{2v_{sat}L} + \theta\right)(V_{GS} - V_{TH})} \end{aligned}$$

# 热载流子效应

- 高速载流子引起电离激发，产生额外的电流

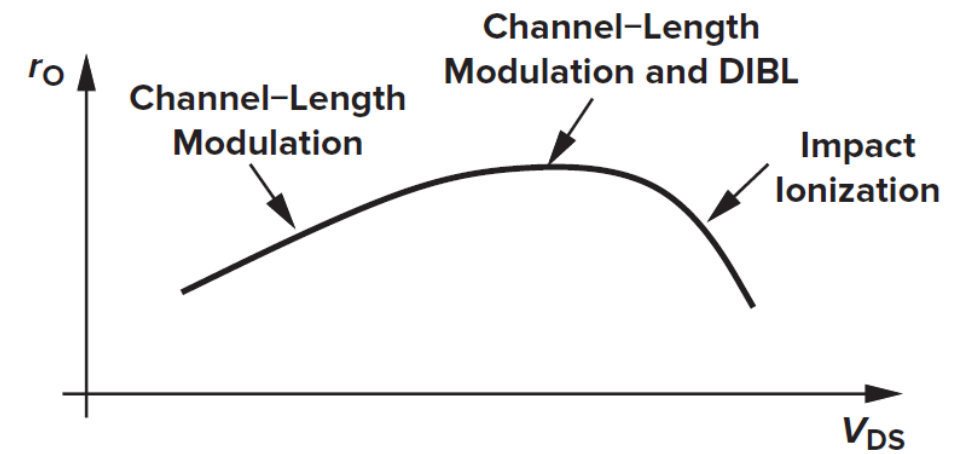


# 输出电阻起伏效应



沟长调制效应 (a) 小 $V_{DS}$  (b) 大 $V_{DS}$  (c) 斜率变化

$$r_O = \frac{2L}{1 - \frac{\Delta L}{L}} \frac{1}{I_D} \sqrt{\frac{q N_B}{2\epsilon_{si}} (V_{DS} - V_{DS,sat})}$$



输出电阻与 $V_{DS}$ 的关系

# SPICE模型

- BSIM1

---

## NMOS Model

LEVEL = 1	VTO = 0.7	GAMMA = 0.45	PHI = 0.9
NSUB = 9e+14	LD = 0.08e-6	UO = 350	LAMBDA = 0.1
TOX = 9e-9	PB = 0.9	CJ = 0.56e-3	CJSW = 0.35e-11
MJ = 0.45	MJSW = 0.2	CGDO = 0.4e-9	JS = 1.0e-8

## PMOS Model

LEVEL = 1	VTO = -0.8	GAMMA = 0.4	PHI = 0.8
NSUB = 5e+14	LD = 0.09e-6	UO = 100	LAMBDA = 0.2
TOX = 9e-9	PB = 0.9	CJ = 0.94e-3	CJSW = 0.32e-11
MJ = 0.5	MJSW = 0.3	CGDO = 0.3e-9	JS = 0.5e-8

VTO: threshold voltage with zero  $V_{SB}$  (unit: V)

GAMMA: body-effect coefficient (unit:  $V^{1/2}$ )

PHI:  $2\Phi_F$  (unit: V)

TOX: gate-oxide thickness (unit: m)

NSUB: substrate doping (unit:  $\text{cm}^{-3}$ )

LD: source/drain side diffusion (unit: m)

UO: channel mobility (unit:  $\text{cm}^2/\text{V}\cdot\text{s}$ )

LAMBDA: channel-length modulation coefficient (unit:  $\text{V}^{-1}$ )

CJ: source/drain bottom-plate junction capacitance per unit area (unit:  $\text{F}/\text{m}^2$ )

CJSW: source/drain sidewall junction capacitance per unit length (unit:  $\text{F}/\text{m}$ )

PB: source/drain junction built-in potential (unit: V)

MJ: exponent in CJ equation (unitless)

MJSW: exponent in CJSW equation (unitless)

CGDO: gate-drain overlap capacitance per unit width (unit:  $\text{F}/\text{m}$ )

CGSO: gate-source overlap capacitance per unit width (unit:  $\text{F}/\text{m}$ )

JS: source/drain leakage current per unit area (unit:  $\text{A}/\text{m}^2$ )

# 仿真模型

- LEVEL 1

$$I_D = \frac{1}{2} K_p \frac{W}{L - 2L_D} [2(V_{GS} - V_{TH})V_{DS} - V_{DS}^2](1 + \lambda V_{DS}) \quad \text{线性区}$$

$$I_D = \frac{1}{2} K_p \frac{W}{L - 2L_D} (V_{GS} - V_{TH})^2 (1 + \lambda V_{DS}) \quad \text{饱和区}$$

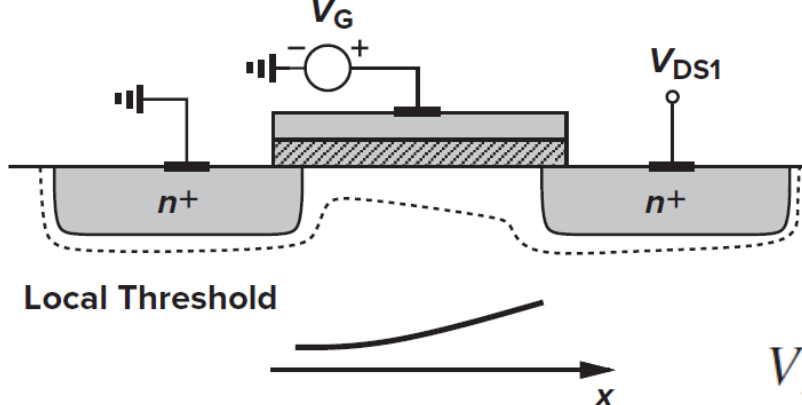
$$C_{GS} = \frac{2}{3} W L C_{ox} \left\{ 1 - \frac{(V_{GS} - V_{DS} - V_{TH})^2}{[2(V_{GS} - V_{TH}) - V_{DS}]^2} \right\} + W C_{ov}$$

$$C_{GD} = \frac{2}{3} W L C_{ox} \left\{ 1 - \frac{(V_{GS} - V_{TH})^2}{[2(V_{GS} - V_{TH}) - V_{DS}]^2} \right\} + W C_{ov}$$

$$C_{GB} = 0.$$

# 仿真模型

- LEVEL 2



$$I_D = \mu C_{ox} \frac{W}{L} \left\{ (V_{GS} - V_{TH0}) V_{DS} - \frac{V_{DS}^2}{2} - \frac{2}{3} \gamma [ (V_{DS} - V_{BS} + 2\phi_F)^{3/2} - (-V_{BS} + 2\phi_F)^{3/2} ] \right\}$$

$$V_{D,sat} = V_{GS} - V_{TH0} - \phi_F + \gamma^2 \left[ 1 - \sqrt{1 + \frac{2}{\gamma^2} (V_{GS} - V_{TH0} + \phi_F)} \right]$$

阈值随沟道的变化

$$I_{DS} = I_{D,sat} \frac{1}{1 - \lambda V_{DS}}$$

$$\Delta L = \sqrt{\frac{2\epsilon_{si}}{qN_{sub}} [\phi_B + (V_{DS} - V_{D,sat})]}$$

# 仿真模型

- LEVEL 3

$$V_{TH} = V_{TH0} + F_s \gamma \sqrt{2\phi_F - V_{BS}} + F_n(2\phi_F - V_{BS}) + \xi \frac{8.15 \times 10^{-22}}{C_{ox} L_{eff}^3} V_{DS}$$

F<sub>s</sub>: 短沟道效应, F<sub>n</sub>: 窄沟道效应

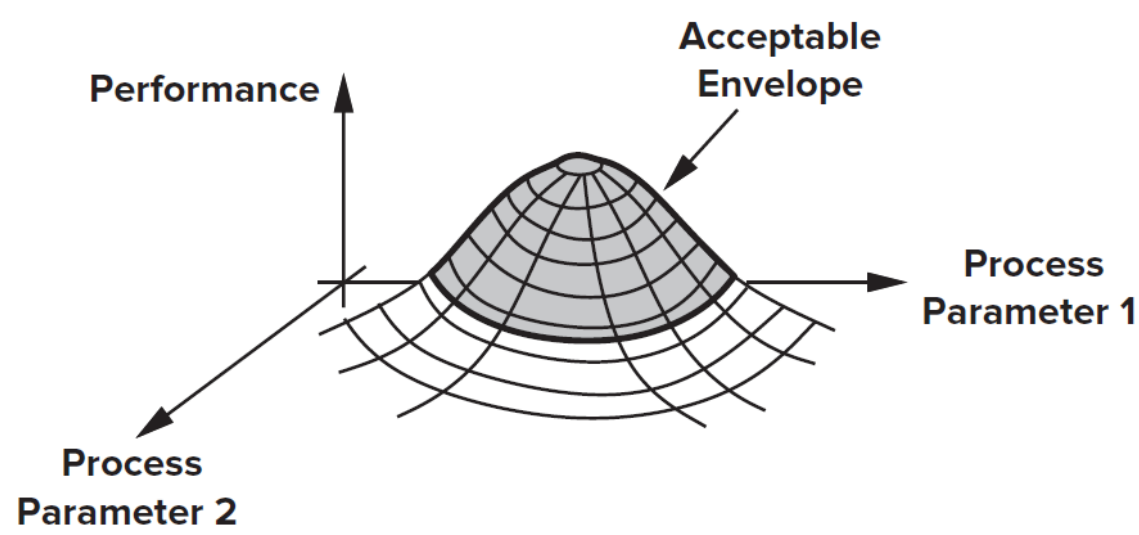
$$\mu_1 = \frac{\mu_{eff}}{1 + \frac{\mu_{eff} V_{DS}}{v_{max} L_1}}$$

$$I_D = \mu_1 C_{ox} \frac{W_{eff}}{L_{eff}} \left[ V_{GS} - V_{TH0} - \left( 1 + \frac{F_s \gamma}{4\sqrt{2\phi_F - V_{BS}}} + F_n \right) \frac{V'_{DS}}{2} \right] V'_{DS}$$

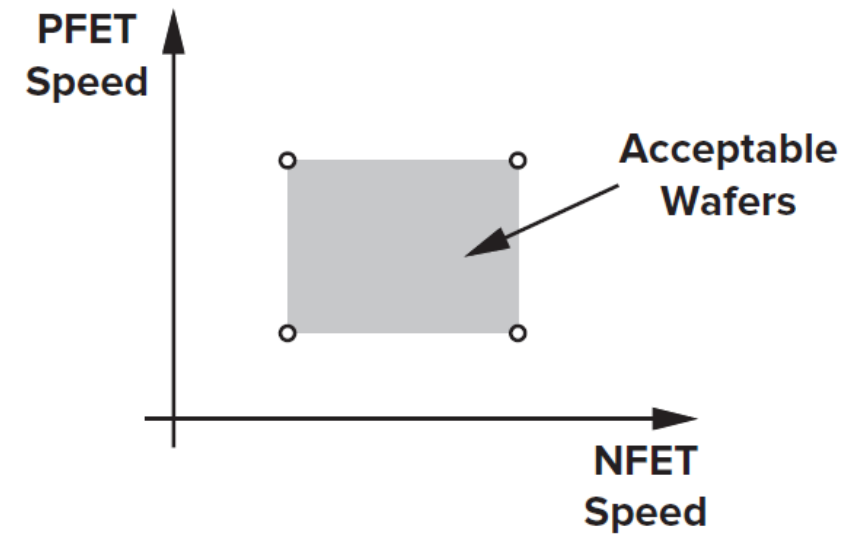


模型的不连续性

# 工艺角



工艺参数对性能的影响



基于MOS管速度的工艺角

# 作业

- 2.9
- 2.13
- 2.14